





De l'**Ob**servatoire **Epi**démiologique da**n**s les **E**aux usées (OBEPINE) vers une **Pl**ateforme **U**ne seule **S**anté (OBEPINE PLUS).

Christophe Gantzer

9 avril 2025

Christophe.gantzer@univ-lorraine.fr

En collaboration avec les autres membres fondateurs d'OBEPINE : J.-L. Bailly, I. Bertrand, M. Boni, M. Desdouits, S. Le Guyader, Y. Maday, V. Maréchal, J.-M. Mouchel, L. Moulin et S. Wurtzer.

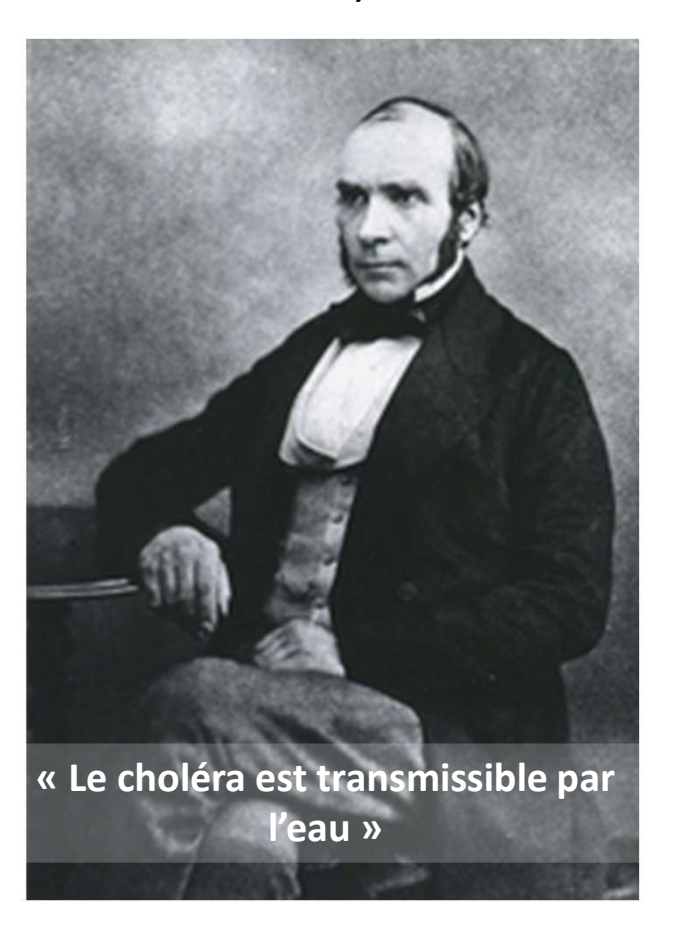




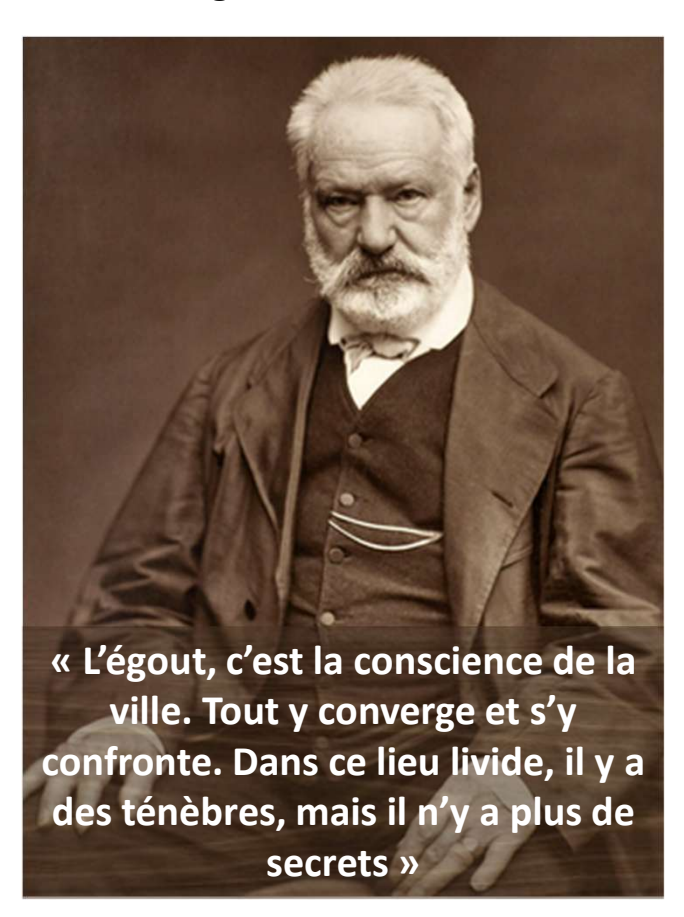


Epidémiologie basée sur les eaux usées (WBE) pour les virus : historique

John Snow, 1854

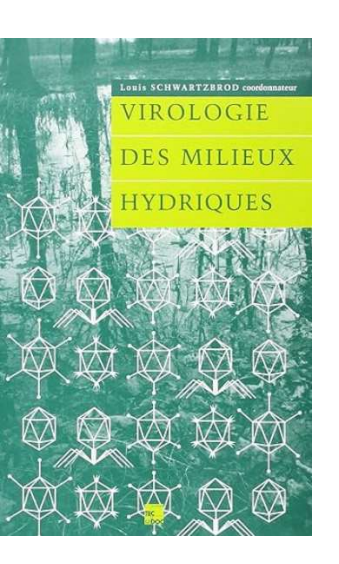


Victor Hugo, Les Misérables, 1867



John Rodman Paul, Science, 1939





Virologie des eaux à Nancy : historique

Laboratoire de virologie de la Faculté de Pharmacie – Nancy (Pr. L. Schwartzbrod)



Faculté de Pharmacie : rue Albert Lebrun

1997: LCPE puis LCPME (J.-J. Ehrhardt, J-C Block, A. Walcarius, C. Gantzer)

Chimie et <u>El</u>ectrochimie <u>An</u>alytiques (ELAN)

<u>Mic</u>robiologie Environnementale (MIC)

<u>Spectroscopies des Interfaces des Ma</u>tériaux et du <u>Vi</u>vant (SIMAVI)





Laboratoire de Chimie Physique et Microbiologie pour les Matériaux et l'Environnement







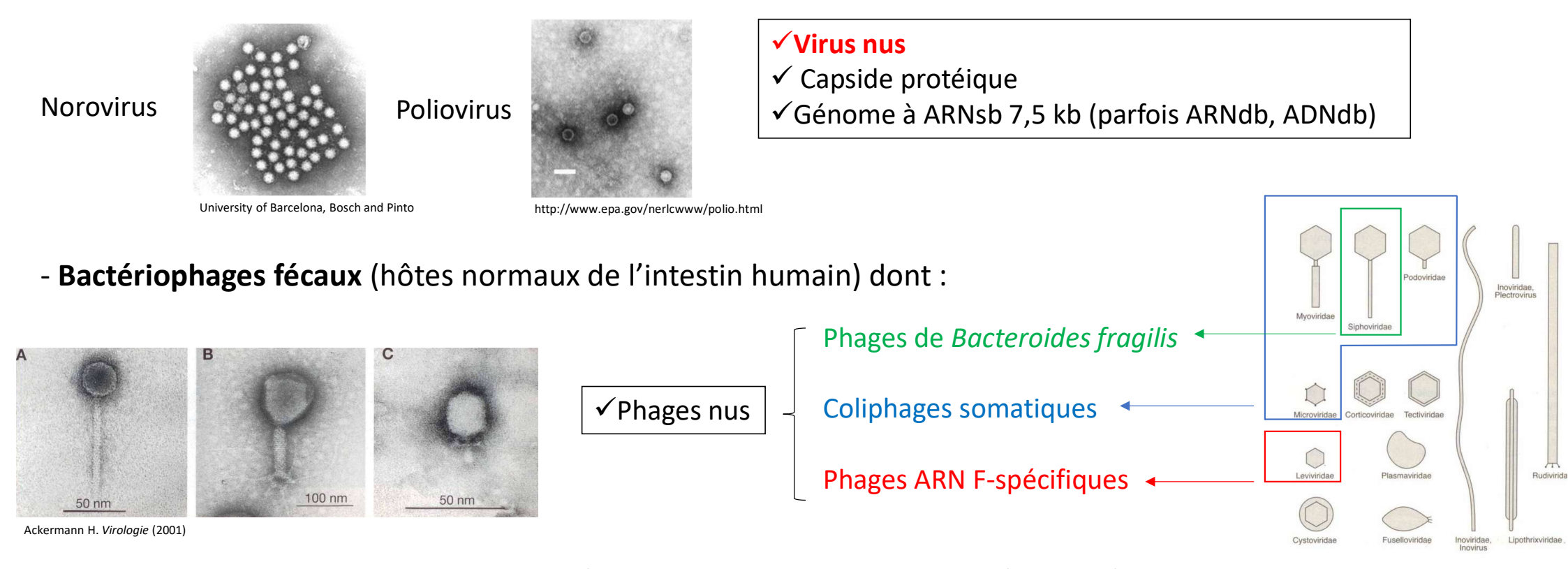
Campus Brabois Santé: Vandoeuvre-lès-Nancy

Villers-lès-Nancy

Principaux virus d'intérêt sanitaire dans l'environnement

- Virus entériques pathogènes (gastro-entérites, hépatites, pathologies liées aux entérovirus dont les poliovirus)

Particules de 20-30 nm

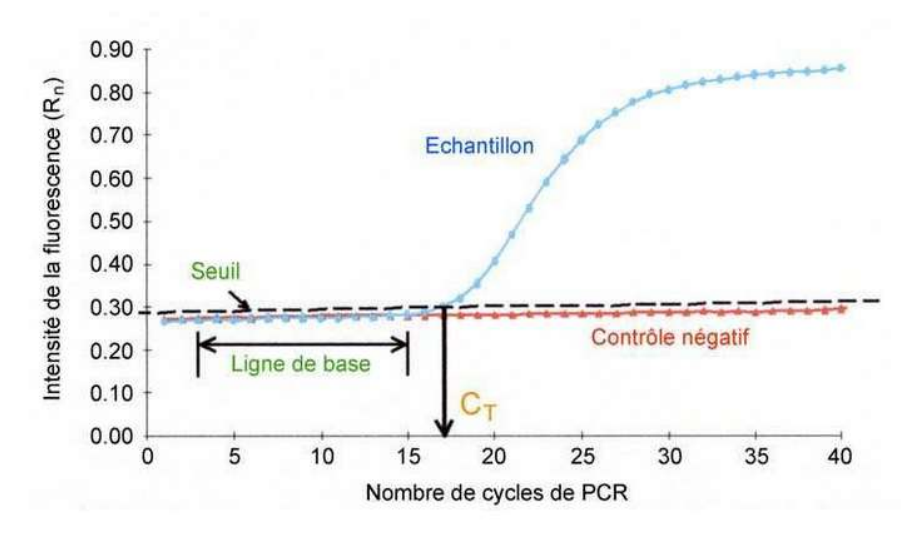


Les virus nus sont plus résistants que les virus enveloppés dans l'environnement

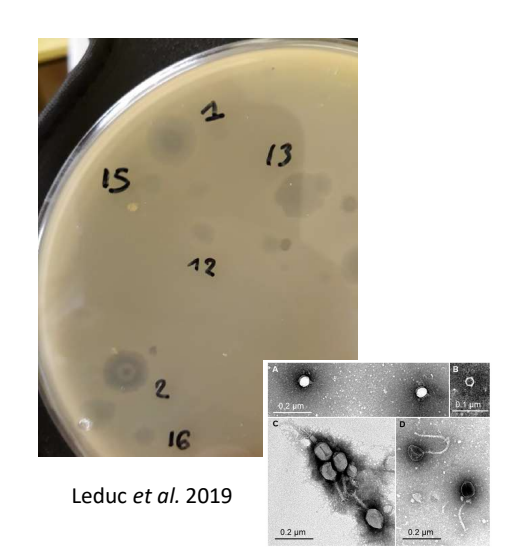
Gantzer et Boudaud, 2015

Méthodes de détection

- RT-PCR : détection du génome viral = virus infectieux ou non
- Culture cellulaire (LNSB3 pour SARS-CoV-2):
 - = virus infectieux



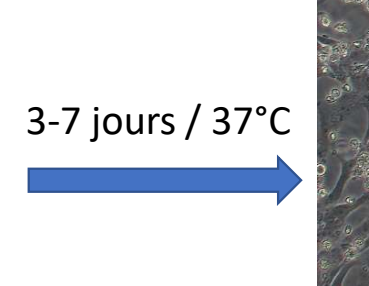
https://www.researchgate.net/figure/Principe-de-la-quantification-par-PCR-entemps-reel-Pour-chaque-echantillon-teste-une fig5 281696844



Complexe pour certains virus (Norovirus enteroïdes ou poisson zèbre, LNSB3 pour SARS-CoV-2)



Uninfected (M.O. x10)



Strain 2 CH (M.O. x20)

Photo M. Varbanov et al. 2020 (L2CM/CHRU/LCPME)

OMS: plan d'éradication de la poliomyélite (1988)

- Généralisation des vaccins inactivés (VPI) et oraux (VPO)
- Depuis 2000 : > 10 milliards de doses administrées à 3 milliards d'enfants = 10 millions de cas de poliomyélite évités (recul de 99%).
- En France: 1958 VPI, 1962 VPO, 1992 arrêt VPO...



Jonas Salk 1954: vaccin injectable (VPI)



Salk Vaccine 100000 Average Number of Cases per Year Sabin Vaccine 10000 Number of cases/year 1000 Vaccine-related cases 10 1950 1960 2000 1970 1980 Year

Albert Sabin 1966 : vaccin atténué oral (VPO)

Effets des vaccins

- Eradication Europe (2002)
- Eradication mondiale des souches sauvages : type 2 en 2015, type 3 en 2019.

Type 1 (33 cas en 2018) présent dans au moins deux pays en 2023

- Poliovirus dérivé d'une souche vaccinale (PVDVc) : en général circulation de la souche pendant plus d'un an dans une population à l'immunité faible
- Flambées épidémiques de PVDVc dans 21 pays (90% type 2)
- VPO bivalent (2016)
- En 2020, 959 cas humains de PVDVc2 dans le monde (27 pays)

	VPI	VPO
· Stimule la réponse IgG dans le sang	Oui	Oui
· Stimule la réponse IgA dans l'intestin	Non	Oui
· Durée de l'immunité	Moyenne	Longue
· Coût	Elevé	Faible
 Voie d'administration 	Injection	Orale
· Equipe qualifiée nécessaire	Oui	Non
· Possible transmission communautaire	Non	Oui
 Possible mutation vers neurovirulence → Poliomyélite paralytique associée au vaccin (PPAV) 	Non	Oui '
 Contre-indiqué en cas d'immunodépression ou de grossesse 	Non	Oui

VPO: vaccin poliovirus oral

VPI: vaccin poliovirus injectable

Surveillance du poliovirus dans les eaux usées

Epidemiol. Infect. (2001), 127, 101–106. © 2001 Cambridge University Press DOI: 10.1017/S0950268801005787 Printed in the United Kingdom

Poliovirus surveillance by examining sewage specimens. Quantitative recovery of virus after introduction into sewerage at remote upstream location

T. HOVI1*, M. STENVIK1, H. PARTANEN1 AND A. KANGAS2

(Accepted 13 March 2001)

SUMMARY

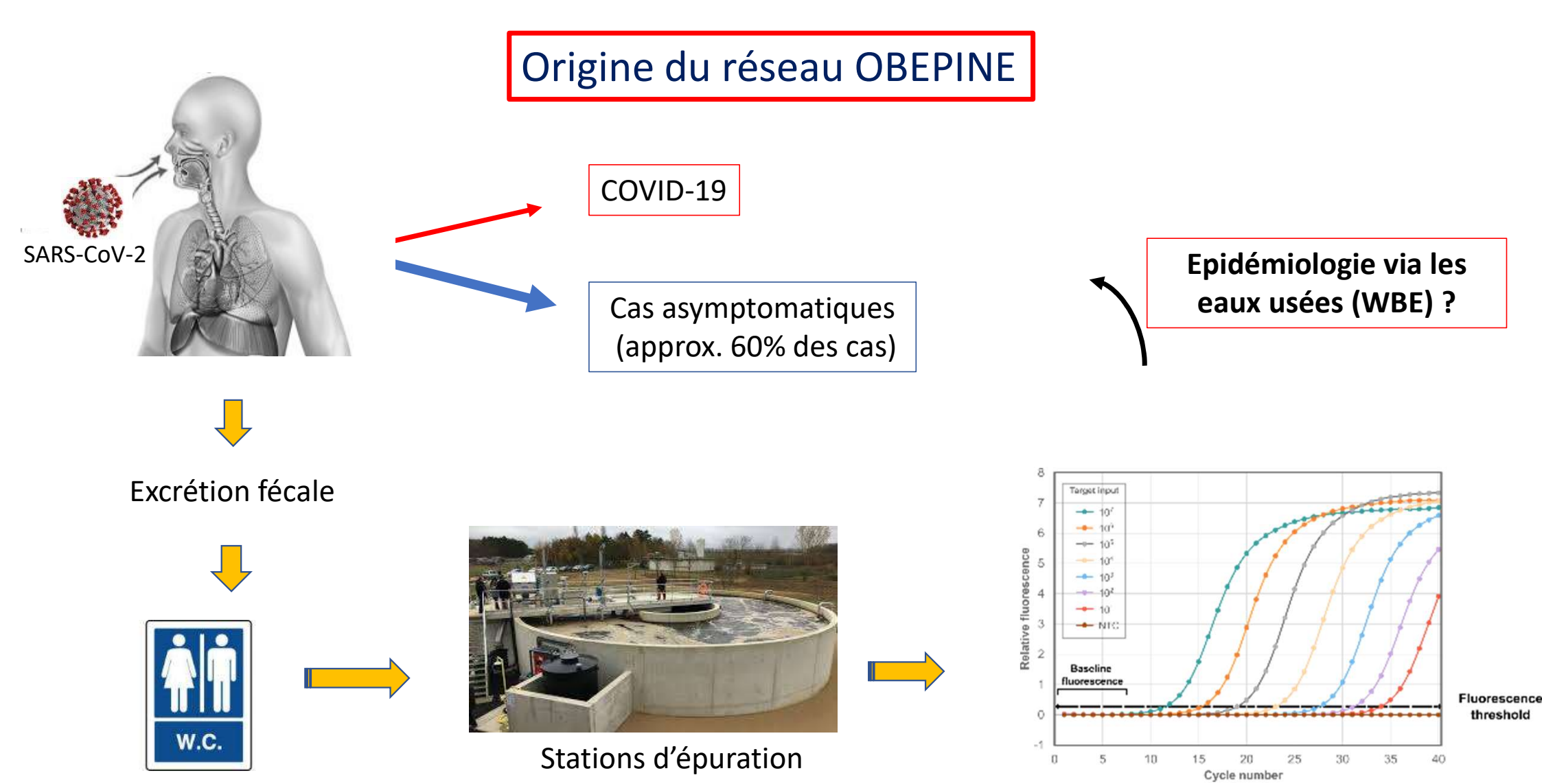
In order to assess the feasibility of environmental poliovirus surveillance, known amounts of poliovirus type 1, strain Sabin, were flushed into the sewage network of Helsinki. Grab specimens collected at a remote downstream location and concentrated about a 100-fold revealed infectious poliovirus on four successive days in all three separate experiments. As for concentration, a simple two-phase separation method was found to be at least as useful as a several-fold more resource-demanding polyethylene glycol (PEG) precipitation method. Recovery of the introduced virus was remarkably high (more than 10%). Using the current system, it might be possible to detect poliovirus circulation in a population of 700 000 people by examining a single 400 ml sewage specimen, if 1 out of 10000 inhabitants were excreting the virus. It is concluded that environmental surveillance is a sensitive approach to monitor silent poliovirus circulation in populations served by a sewage network.

Approche sensible pour évaluer la circulation du virus dans la population desservie

En 2020, 411 échantillons environnementaux positifs pour le PVDVc2 ont été signalés à l'échelle mondiale dans 27 pays

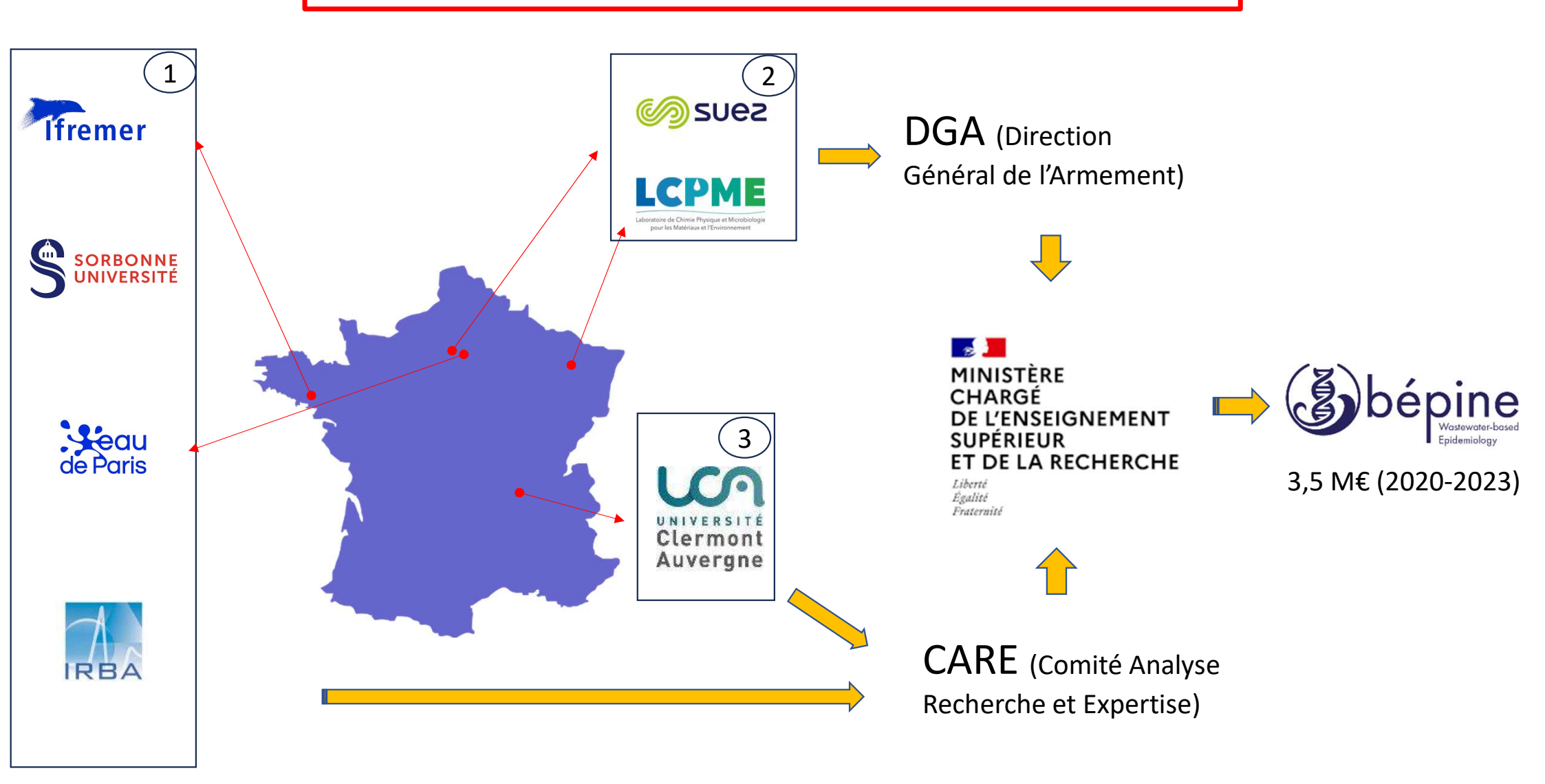
¹ Enterovirus Laboratory, WHO Collaborating Centre for Reference and Research on Poliomyelitis, National Public Health Institute (KTL), Helsinki, Finland

² Helsinki Water, City of Helsinki, Finland



Medema et al. Environ. Sci. Technol. Lett. 2020, 7, 511-516

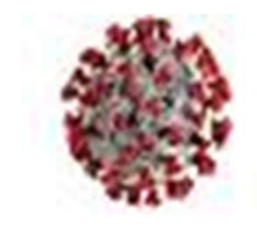
Origine du réseau OBEPINE : Trois projets soumis



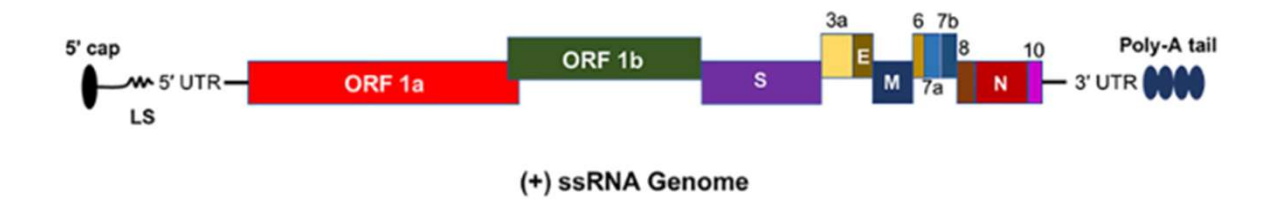


OBEPINE : Feuille de route

Nouvelle cible

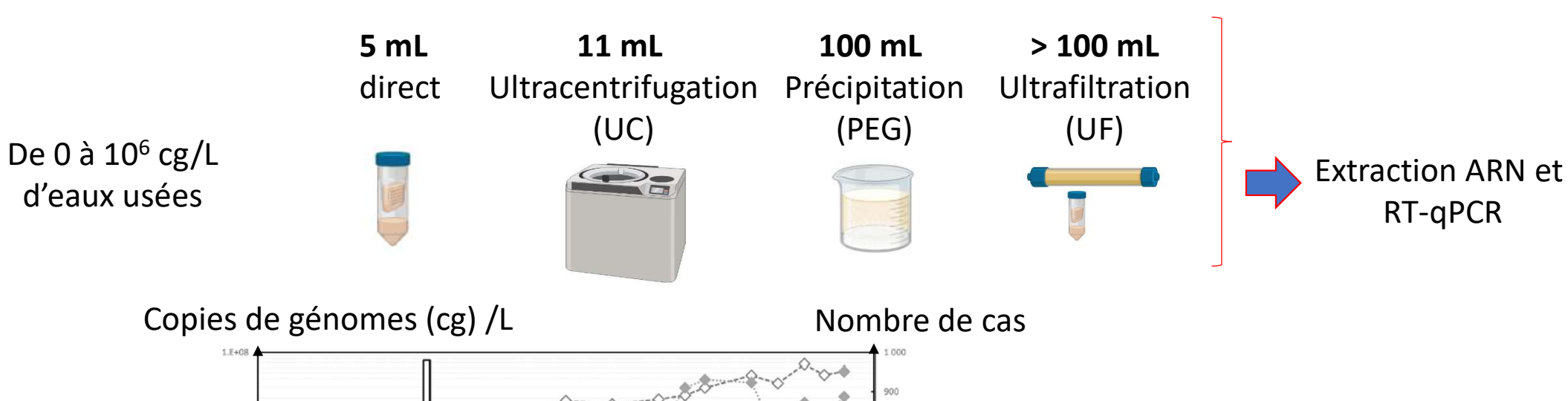


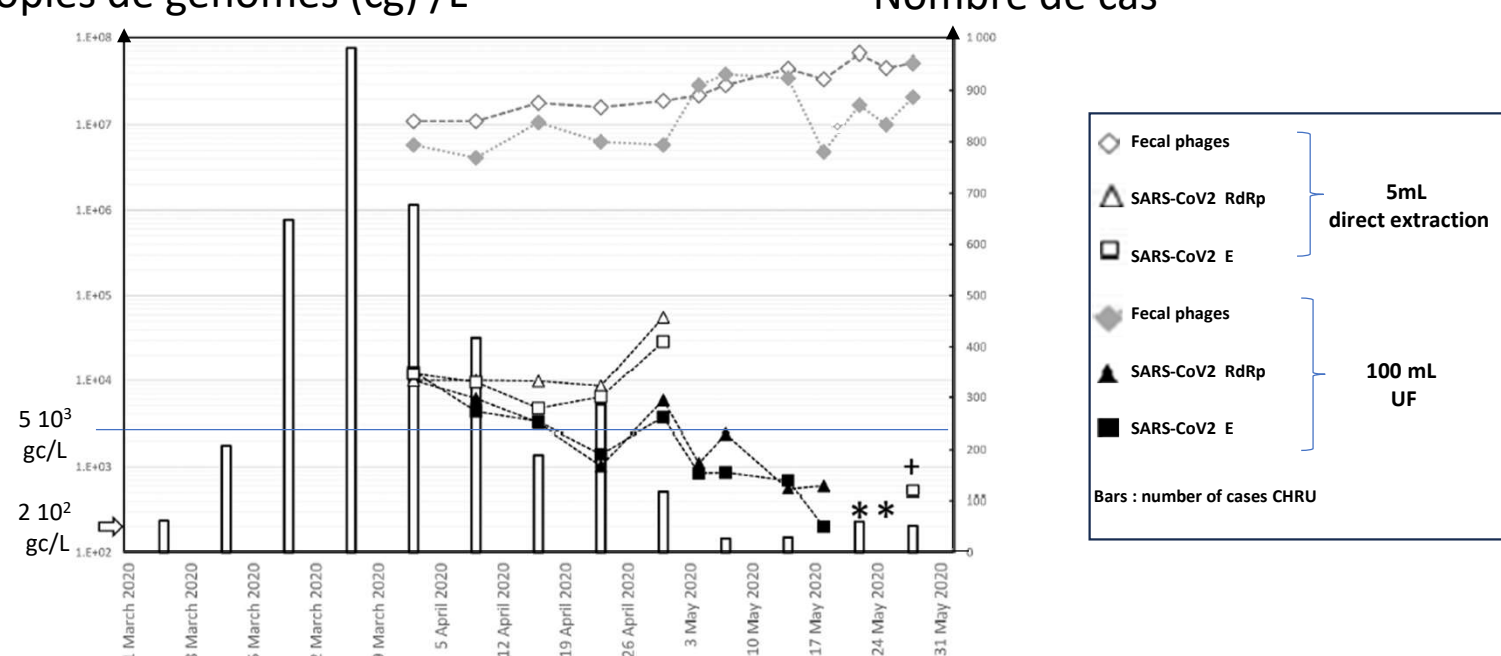
Virus enveloppé (100 nm) ARN 30 kb



- Méthodes de quantification du génome viral dans les eaux usées
- Echantillonnage
- Modèle mathématique (variation, prédiction)
- Preuve de concept : intérêt de l'épidémiologie par les eaux usées (WBE) pour le SARS-CoV-2
- Transfert aux agences publiques

Quantification du SARS-CoV-2 dans les eaux usées



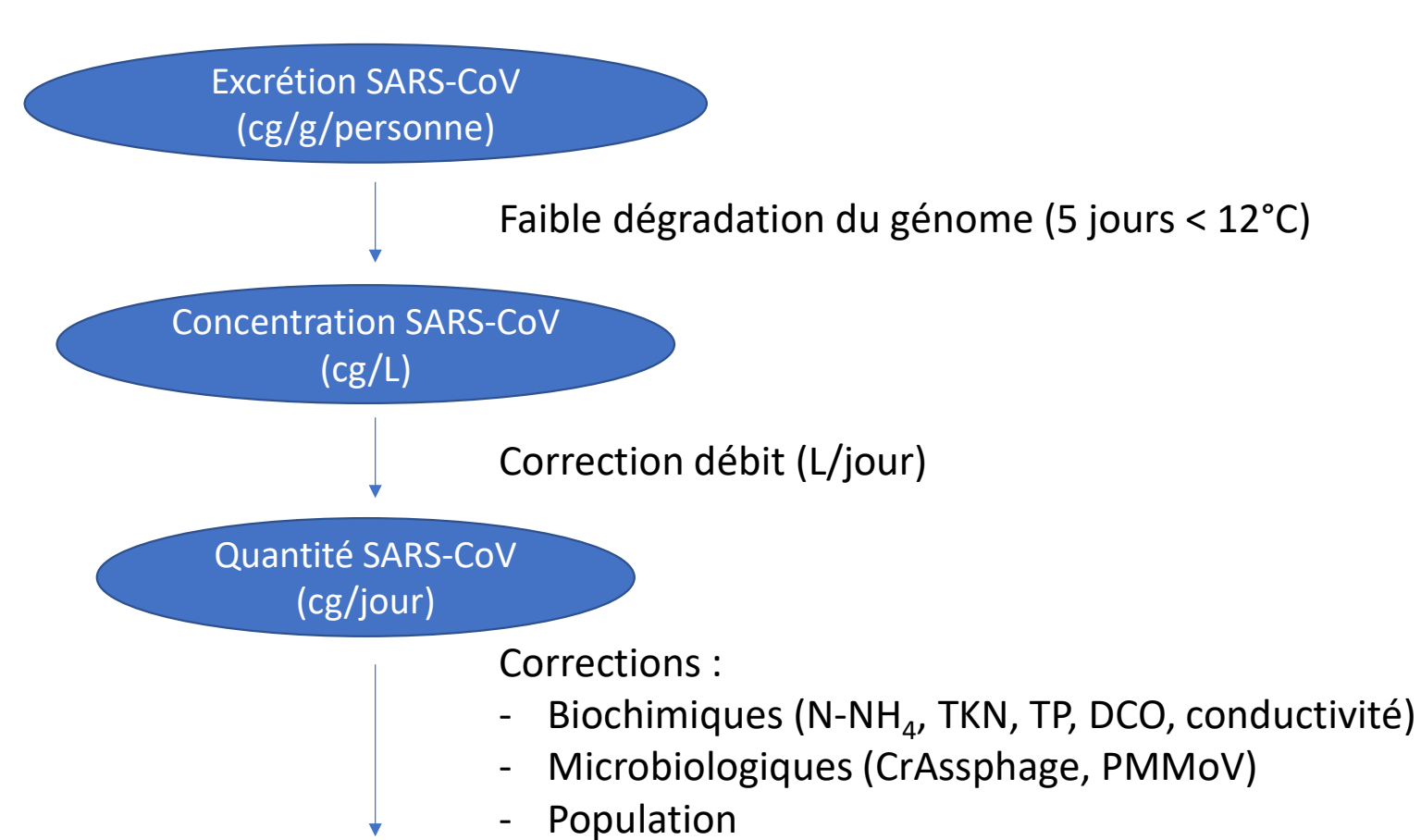


Dates

Bertrand et al., 2021; Chaqroun et al., 2024

Normalisation des données



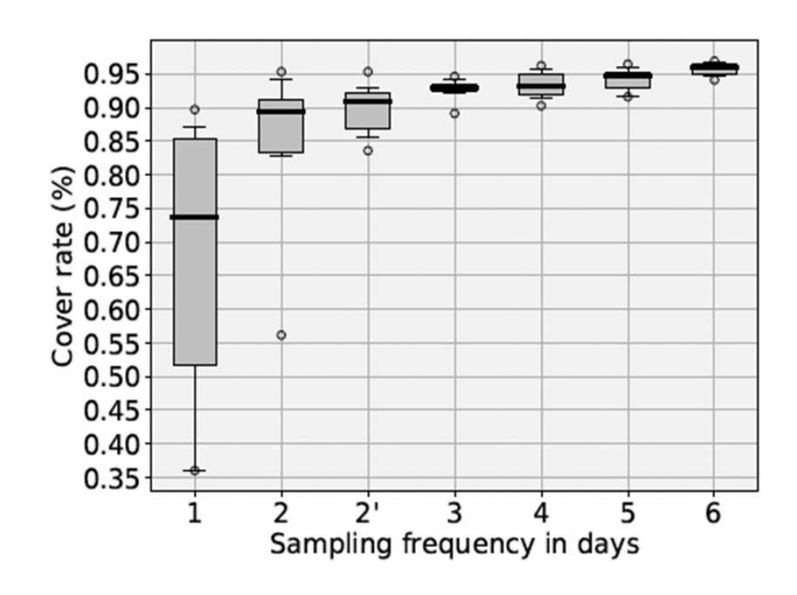


SARS-CoV load concentration cg/jour/personne

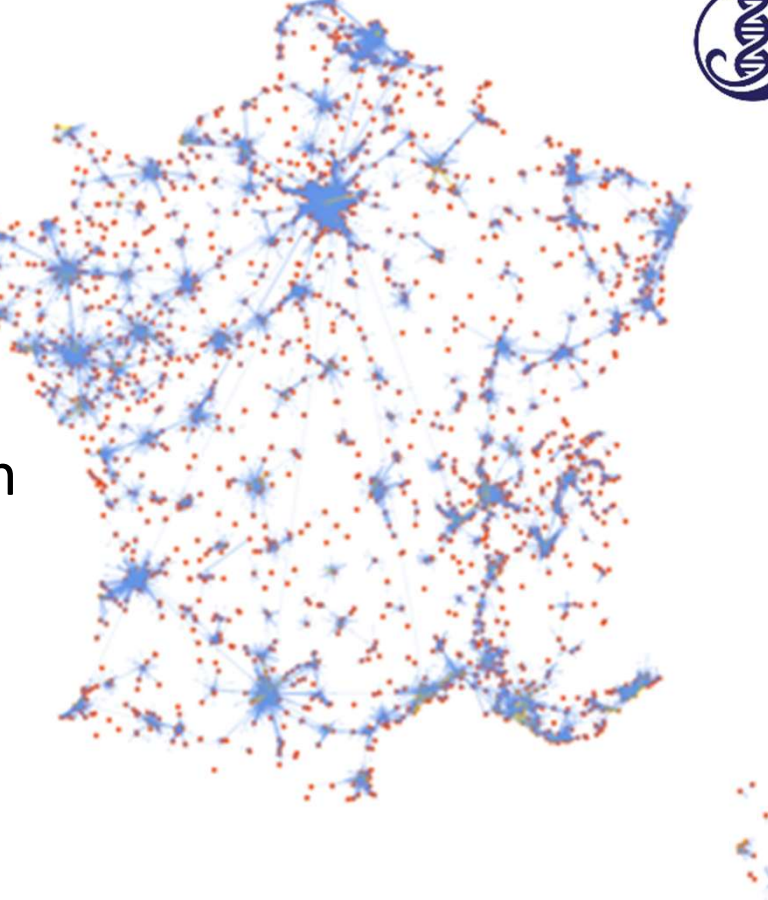
Echantillonnage

- 40 critères (population, industries, tourisme, universités, aéroports...)

- 200 stations (22704) = 40% de la population



Deux échantillons composites de 24 heures / semaine



2' : au moins 2 jours de séparation entre les échantillons

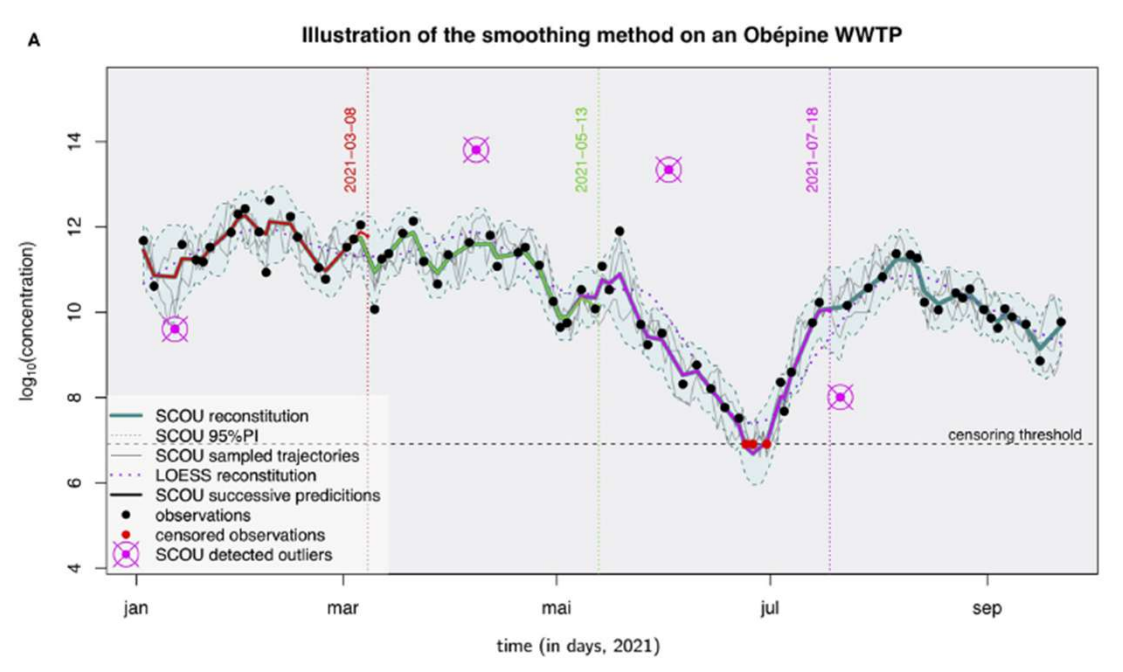
Modèle mathématique



- Concentration d'ARN normalisée

Volume of wastewater reaching the WWTP weather value $C_t = (C_{0,t})_1 \times \left(\frac{V_t}{V_0}\right)_2 \times \left(\frac{Poll_0}{Poll_t}\right)_3$ Different quality indexes

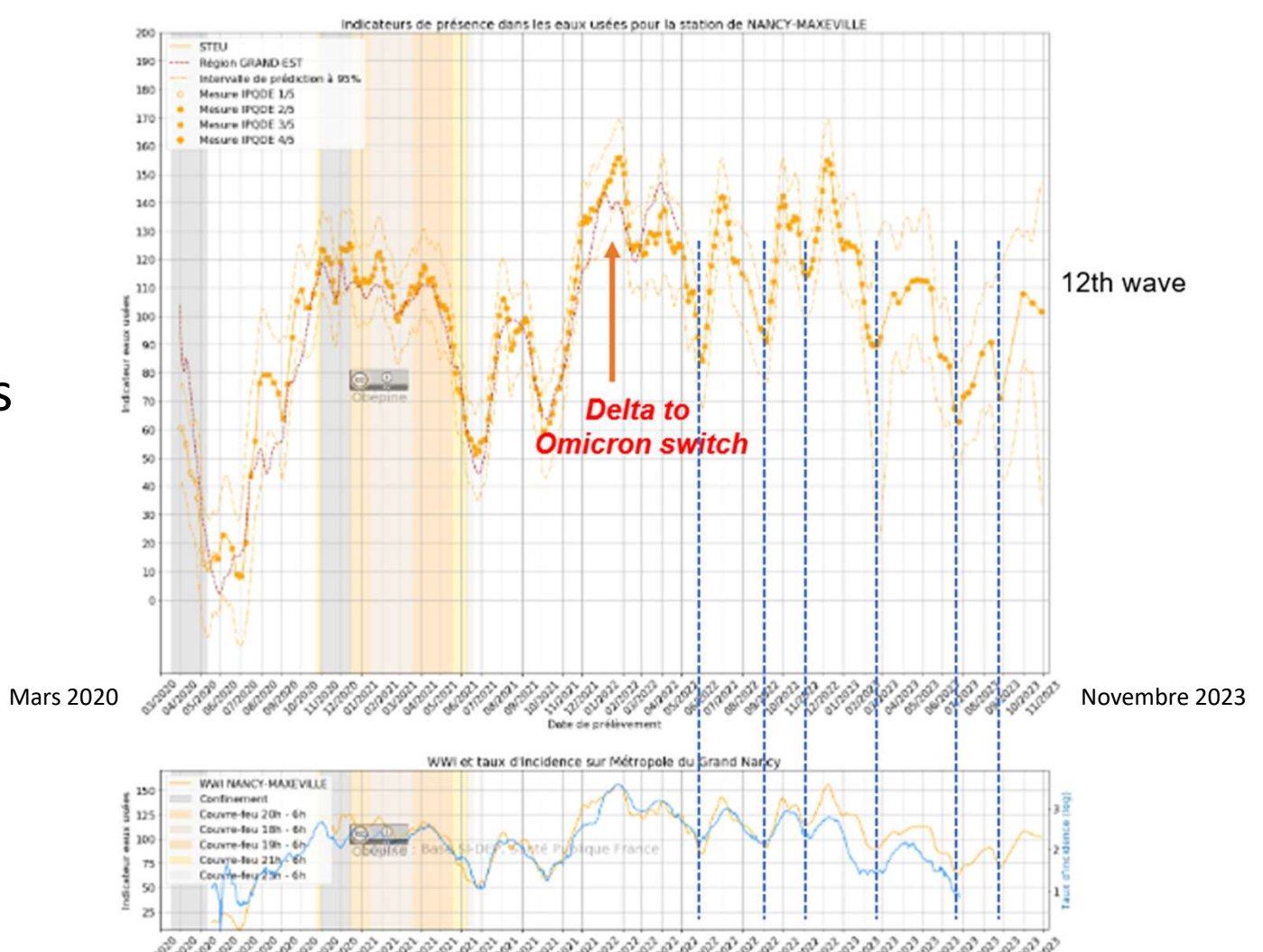
- Algorithme de lissage (Kalman)



SARS-CoV-2 à Nancy



Efficacité des confinements et les différentes vagues

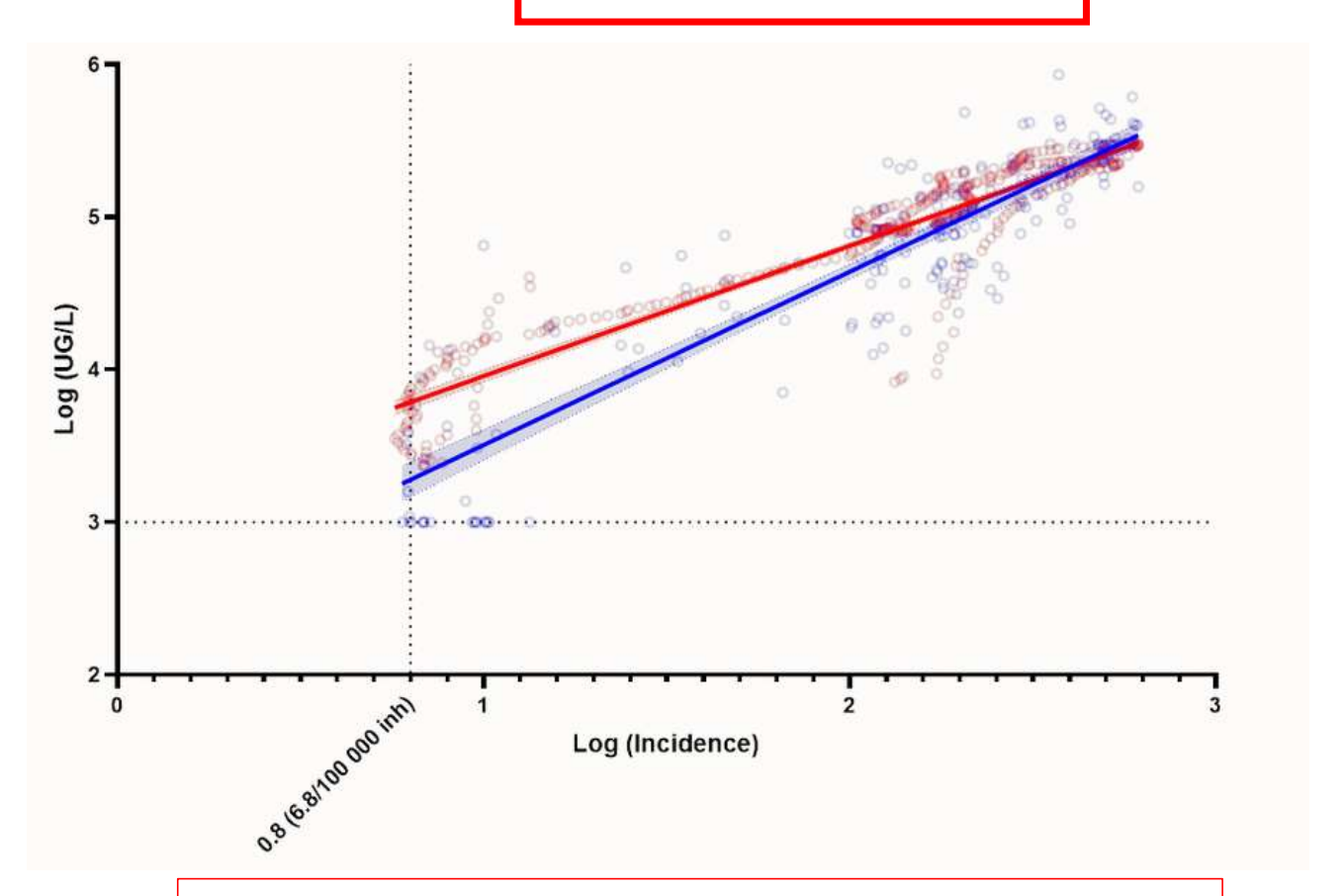


Date de prélèvement (WWI) i Semaine glissante (données cliniques)



Lien avec l'incidence





Raw data
Corected
data

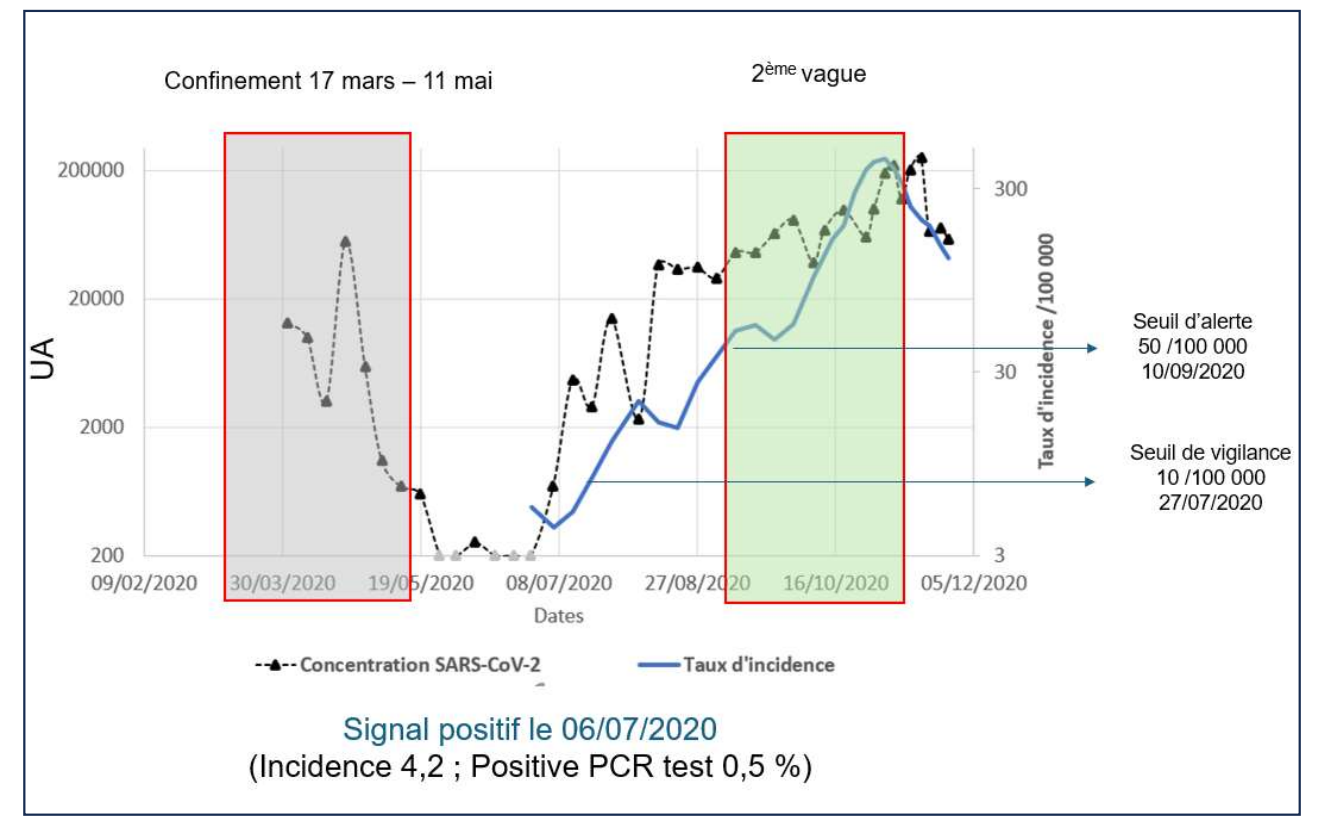
- Relation directe avec l'incidence (Tests individuels)
- Limite de détection 6,8/100 000

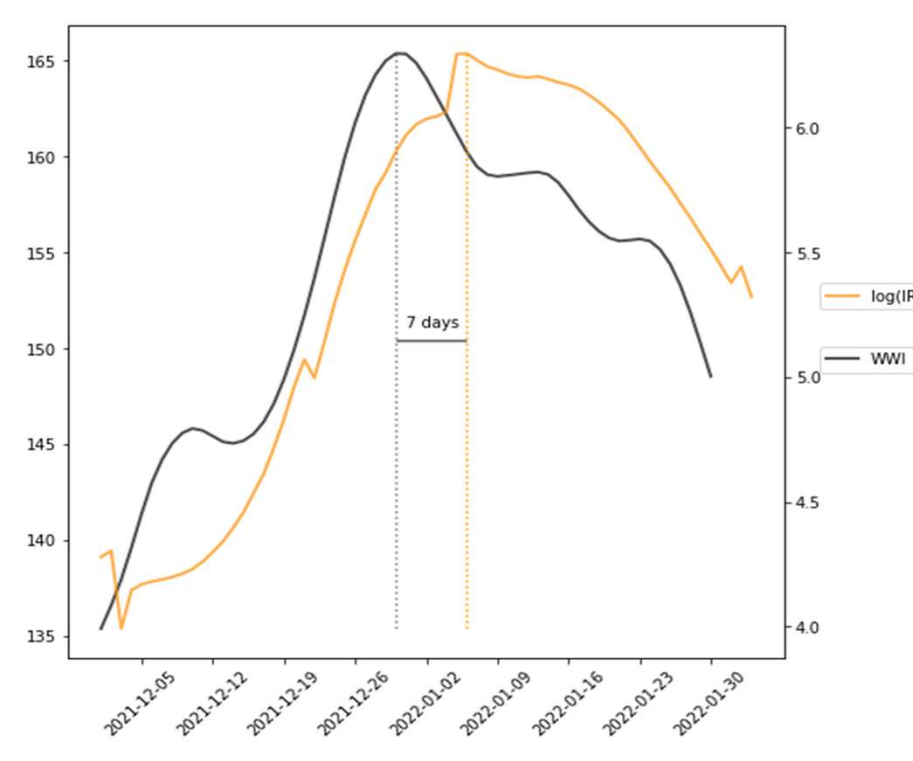
Indicateur précoce



Vagues 1-2 à Nancy (valeurs brutes)

Vague 5 à Paris (Modèle)





Augmentation de 0 à 10 jours avant l'incidence

Bertrand et al., 2021; Wurtzer et al., 2020

Surveillance du porte-avions Charles de Gaulle





© Marine nationale

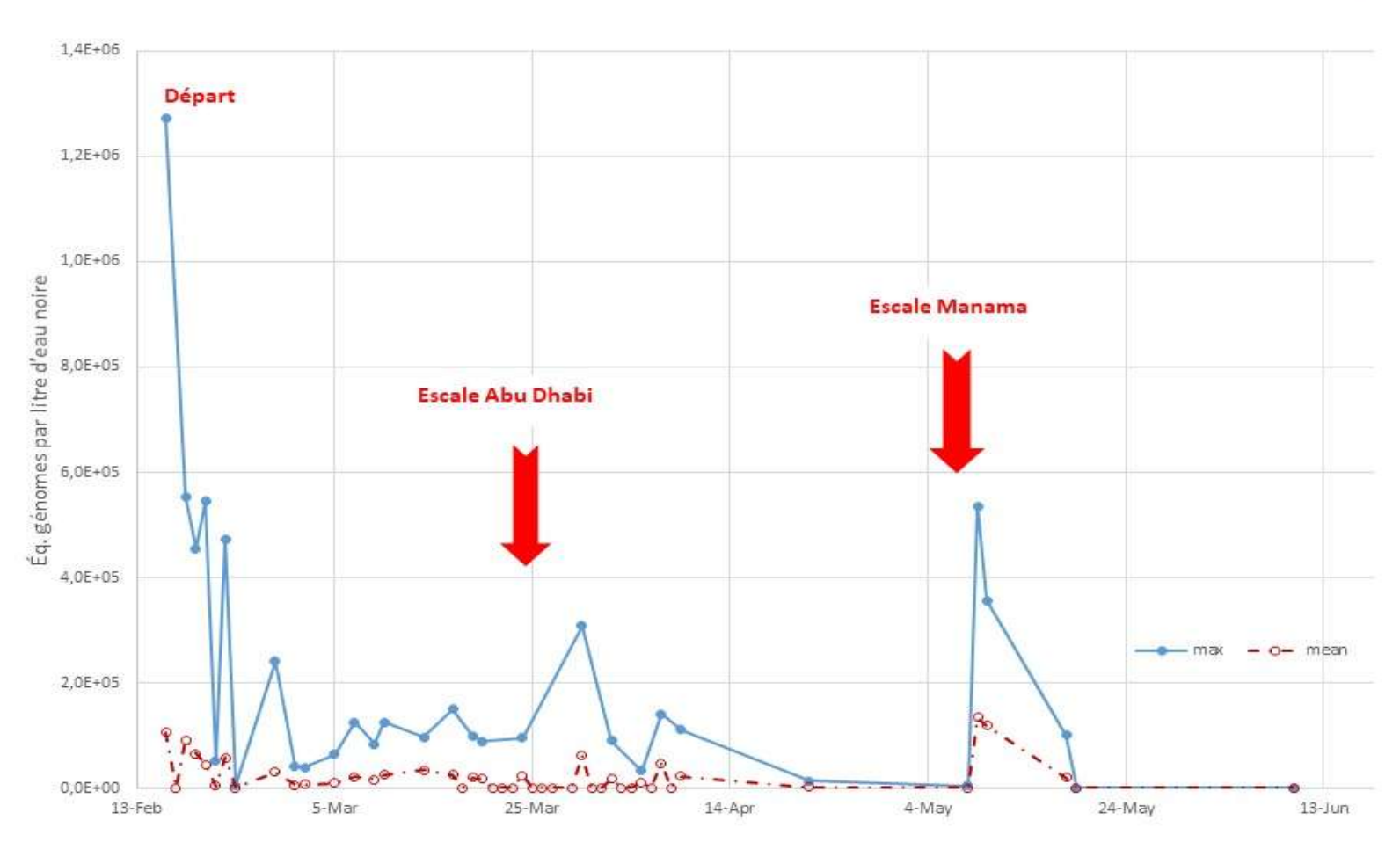
- Surveillance quotidienne des eaux usées du porte-avions.
- Mission de Janvier 2021 (Wuhan + Alpha).



Mission Janvier 2021



Surveillance du SARS-CoV-2 dans les eaux usées du porte-avions

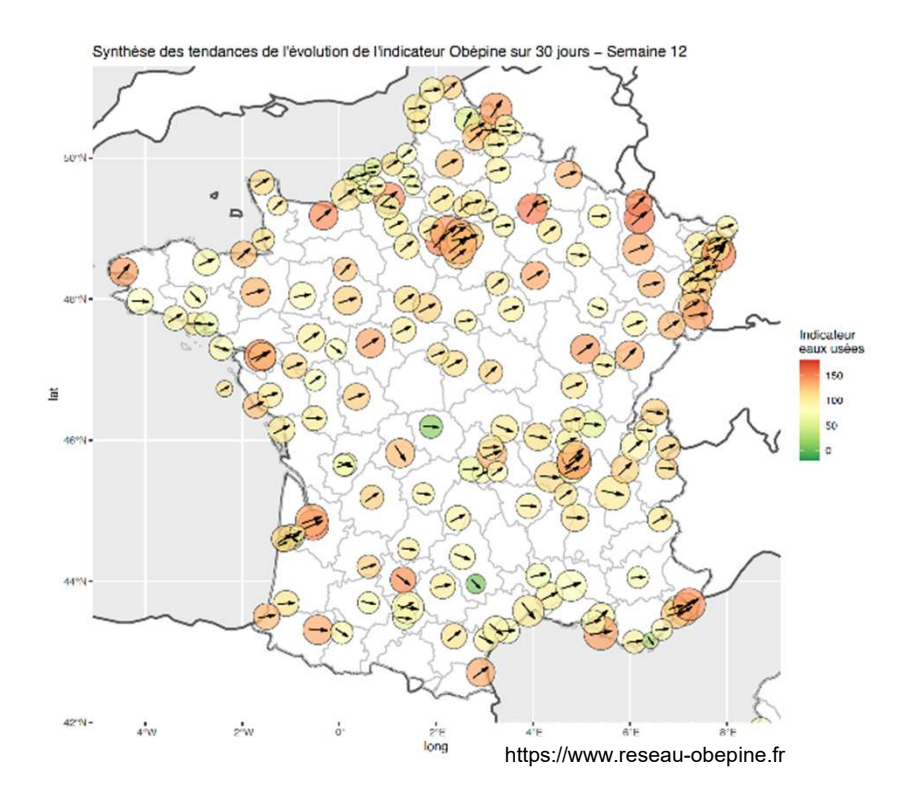


- SARS-CoV-2 dans les eaux usées.
- Les concentrations augmentent après chaque escale puis déclinent progressivement.

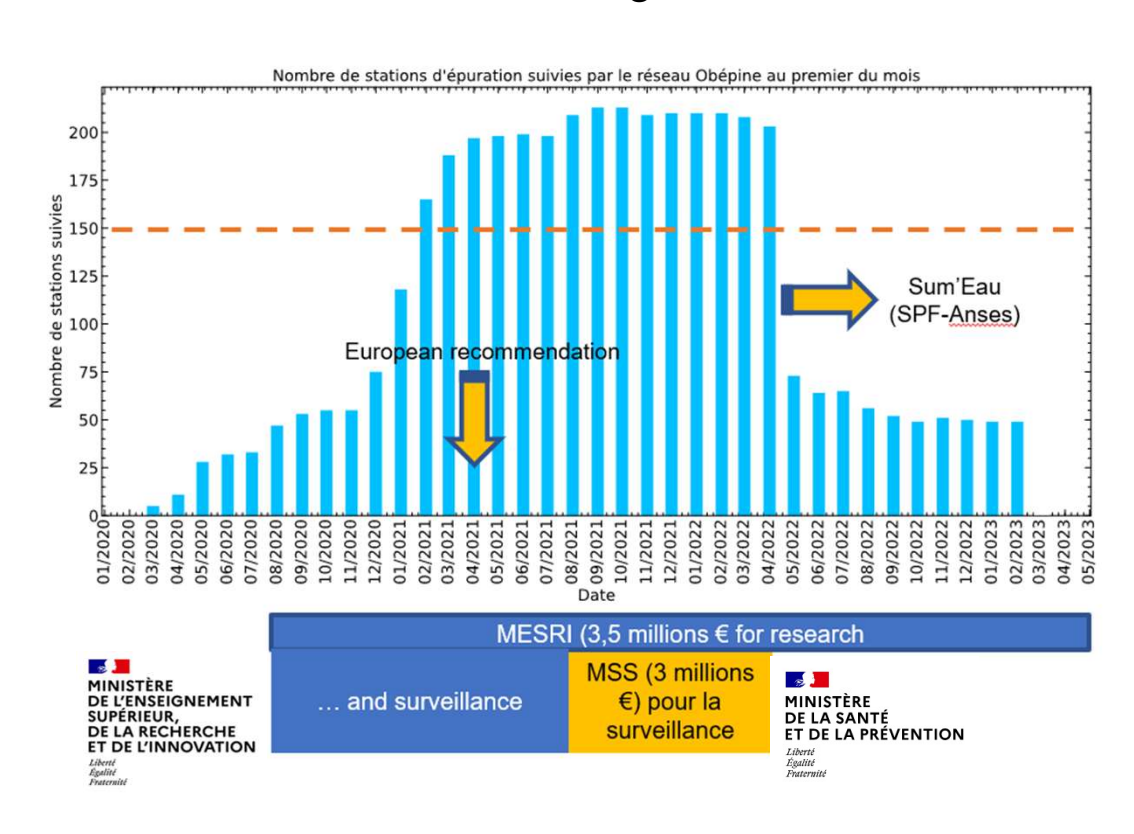
Surveillance et transfert



Tendance en temps réel



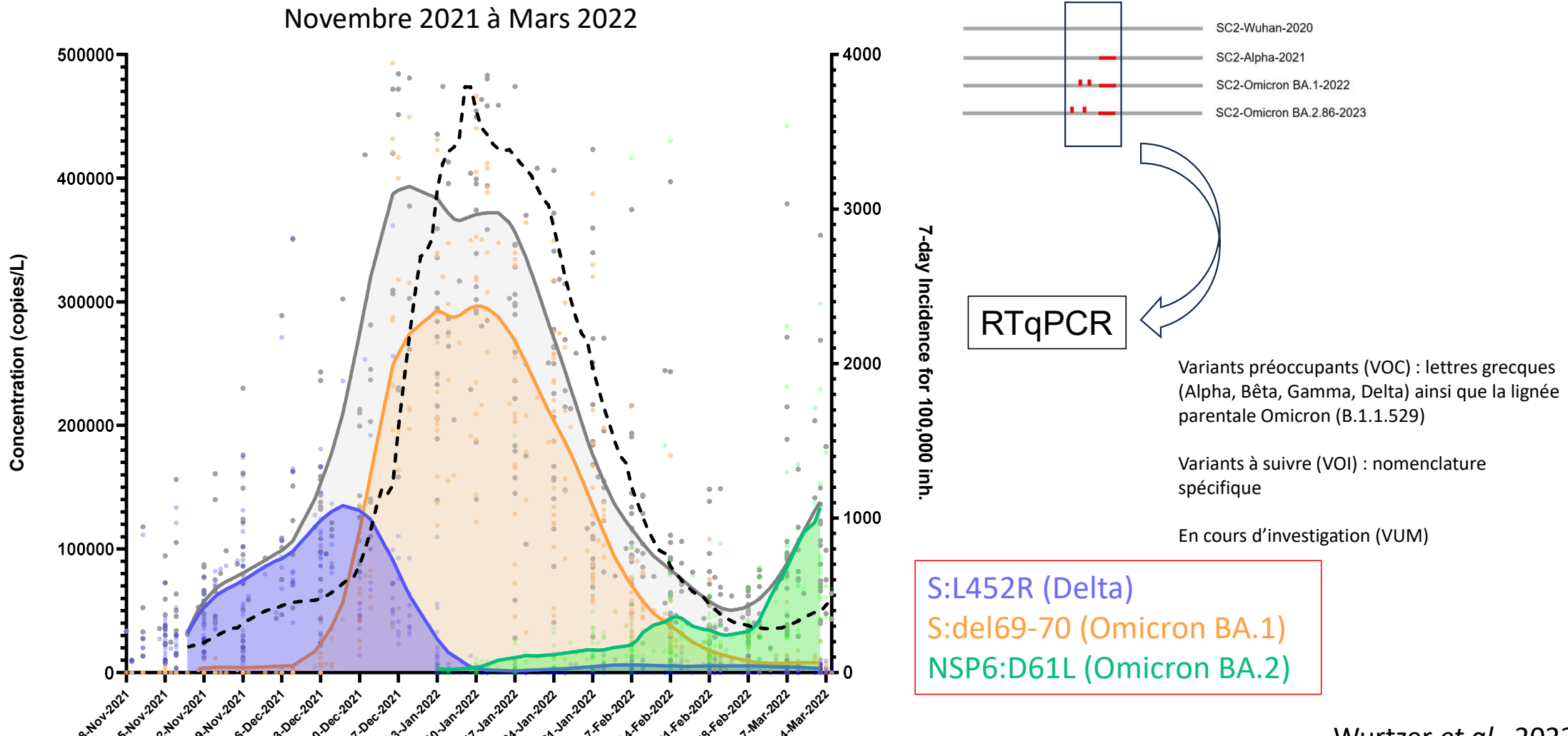
Transfert aux agences



- 200 rapports/semaine -> Mai 2022.
- Surveillance de 40% de la population (330 k€/month) : 1000 fois moins cher que les tests individuels.

Dynamique des variants : recherche ciblée





Wurtzer et al., 2022

Dynamique des variants : Séquençage



Breadth of coverage

Difficultés : concentrations faibles et inhibiteurs

Concentration par UF

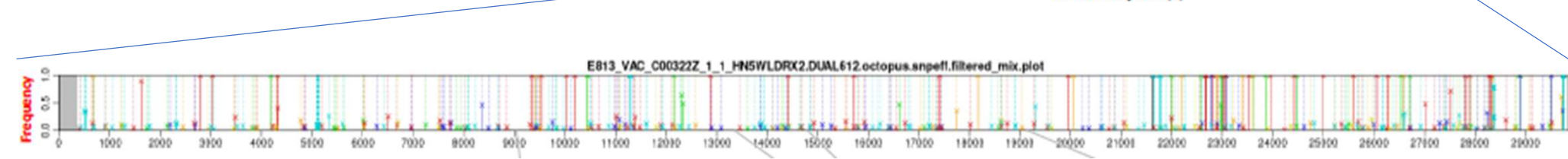
- 500 mL eaux usées
- Extraction
- Séquençage

Rendement:

SARS-CoV-2: 51 ± 24 %

FRNAPH-GGII: 57 ± 28 %

1000000 Membrane stirred cell (500 mL) 1000000 MBC 1/10 95% Crude 1000000 Position in viral genome [nt]



Cible: > 95% en couverture et > 20 000 en profondeur

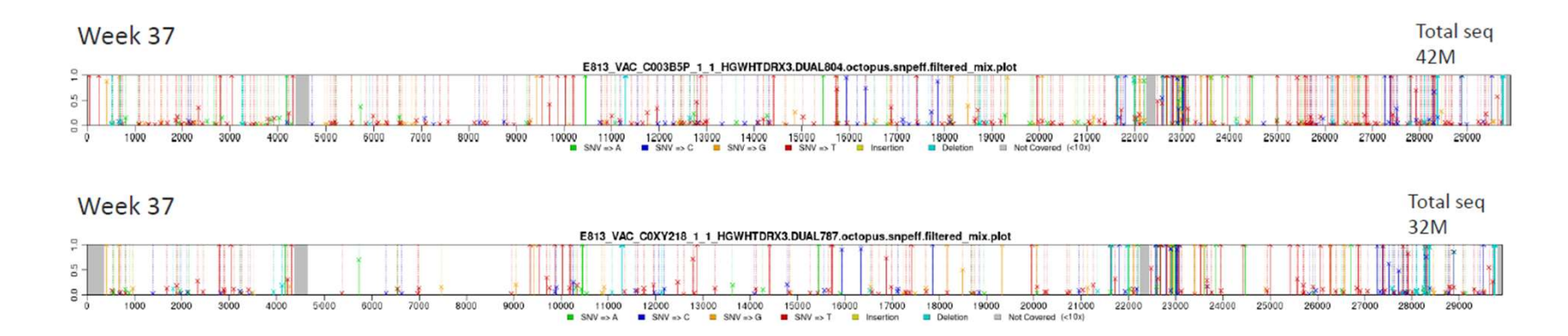
El soufi et al., 2024; Chaqroun et al., 2024

Dynamique des variants : Séquençage



Le variant BA.2.86 (VUM) est-il en émergence ?

Qualité du séquençage : couverture ~98% et profondeur > 20 000 : 200 mL of wastewater



Septembre 2023 : 5 eaux métropole + 2 eaux Guyane

- Variant EG.5 (Eris) prédominant
- Faible présence of BA.2, BN.1, CH.1.1, etc.
- Absence variant BA.2.86 (Pirola)

Autres alertes: Poliovirus dérivé du vaccin



Epidemiology and Infection

www.cambridge.org/hyg

Original Paper

Cite this article: Kasstan B, Mounier-Jack S, Chantler T, Masters N, Flores SA, Stokley S, Meek H, Easton D, De Luna-Evans T, Souto M, Punjabi C, Ruppert PS, Rosenberg E and Routh J (2023). Poliovirus outbreak in New York State, August 2022: qualitative assessment of immediate public health responses and priorities for improving vaccine coverage. Epidemiology and Infection, 151, e120, 1–10 https://doi.org/10.1017/S0950268823001127

Received: 21 April 2023 Revised: 01 July 2023 Accepted: 05 July 2023 Poliovirus outbreak in New York State, August 2022: qualitative assessment of immediate public health responses and priorities for improving vaccine coverage

Ben Kasstan^{1,2}, Sandra Mounier-Jack^{1,2}, Tracey Chantler^{1,2}, Nina Masters³, Stephen A Flores⁴, Shannon Stokley⁴, Haillie Meek^{3,5}, Delia Easton⁵, Tatiana De Luna-Evans⁶, Maria Souto⁶, Chitra Punjabi⁶, Patricia Schnabel Ruppert⁶, Eli Rosenberg⁵ and Janell Routh⁴

¹Department of Global Health and Development, London School of Hygiene & Tropical Medicine, London, UK; ²The Vaccine Centre, Department of Global Health and Development, London School of Hygiene & Tropical Medicine, London, UK; ³Centers for Disease Control and Prevention, Epidemic Intelligence Service, Atlanta, GA, USA; ⁴National Center for Immunization and Respiratory Diseases, Centers for Disease Control and Prevention, Atlanta, GA, USA; ⁵New York State Department of Health, Albany, NY, USA and ⁶Rockland County Department of Health, Pomona, NY, USA

- Un cas de paralysie chez un adulte non vacciné à New York
 (PDVc2) (2022)
- Détecté en septembre 2022 dans les eaux usées de Londres, USA et Israël
- Suivi en France (législation MOT) : Eau de Paris



https://www.voanews.com/a/new-york-state-reports-1st-us-polio-case-in-nearly-a-decade/6668611.html



https://www.vax-before-travel.com/poliovirus-samples-detected-16-european-cities-2025-03-07

Ben Kasstan et al., 2022



Autres alertes: Mpox



Science of the Total Environment 933 (2024) 173108



Contents lists available at ScienceDirect

Science of the Total Environment

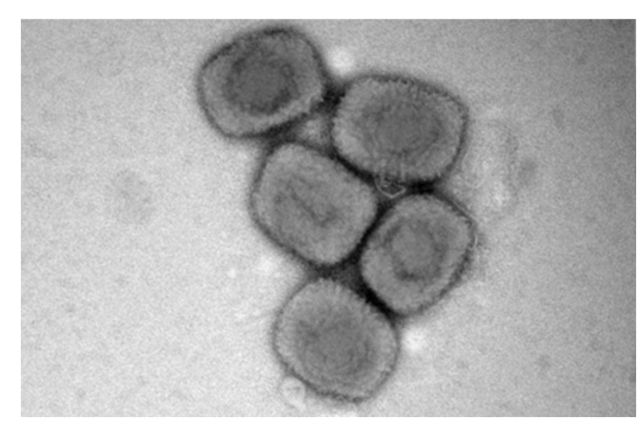
journal homepage: www.elsevier.com/locate/scitotenv





Detection of mpox virus in wastewater provides forewarning of clinical cases in Canadian cities

Edgard M. Mejia ^{a,*,1}, Nikho A. Hizon ^{a,1}, Codey E. Dueck ^a, Ravinder Lidder ^a, Jade Daigle ^a, Quinn Wonitowy ^a, Nestor G. Medina ^a, Umar P. Mohammed ^a, Graham W. Cox ^a, David Safronetz ^{b,d}, Mable Hagan ^b, Jim Strong ^{b,d}, Anil Nichani ^a, Michael R. Mulvey ^{a,c,d}, Chand S. Mangat ^{a,c,d}



https://www.pasteur.fr/fr/centre-medical/fiches-maladies/mpox-anciennement-variole-du-singe

Poxviridae : ADNdb 200kb Virus géants enveloppés : 0,2μm

- Emergence mondiale en 2022 (propagation dans 75 pays non endémiques)
- Suivi en France (législation MOT) : Eau de Paris

Mejia et al., 2024; Pozzetto et al., 2024

^{*} Wastewater Surveillance Unit, Bacterial Pathogens, AMR, and Wastewater, National Microbiology Laboratory, Public Health Agency of Canada, Winnipeg, Manitoba, Canada

Special Pathogens Program, National Microbiology Laboratory, Public Health Agency of Canada, Winnipeg, Manitoba, Canada
Antimicrobial Resistance Nooccomial Infections, National Microbiology Laboratory, Public Health Agency of Canada, Winnipeg, Manitoba, Canada

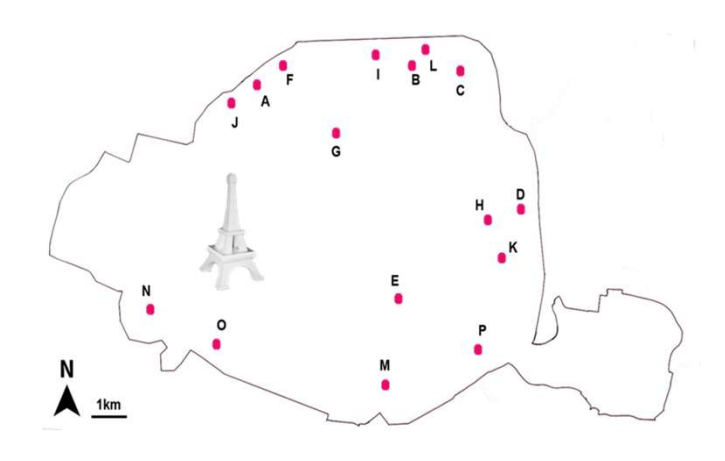
Department of Medical Microbiology and Infectious Diseases, Max Rady College of Medicine, Rady Faculty of Health Sciences, University of Manitoba, Winnipeg,

[&]quot;Department of Medical Microbiology and Infectious Diseases, Max Rady College of Medicine, Rady Faculty of Health Sciences, University of Manitoba, Winnipeg Manitoba, Canada

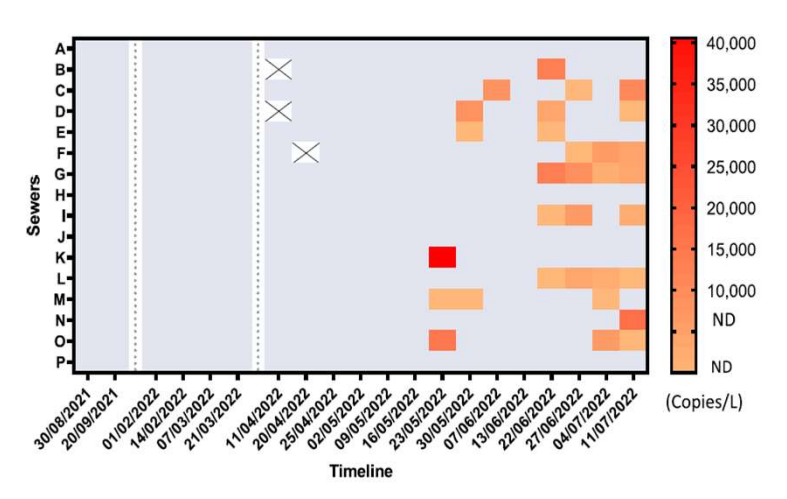


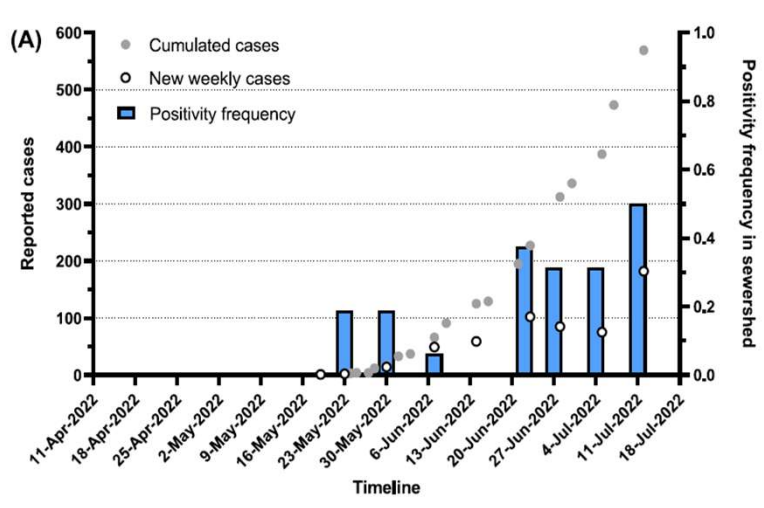
Mpox dans les égoûts de Paris





- Détection concomitante avec le premier cas
- Concentration dans les eaux usées en lien avec le nombre de cas
- Pas de circulation avant Mai 2022 (date d'introduction) : aquathèque





Les questions connexes : La transmission via le milieu hydrique est-elle possible ?



Science of the Total Environment 740 (2020) 140122



Contents lists available at ScienceDirect

Science of the Total Environment

journal homepage: www.elsevier.com/locate/scitotenv



Short Communication

Recreational waters – A potential transmission route for SARS-CoV-2 to humans?



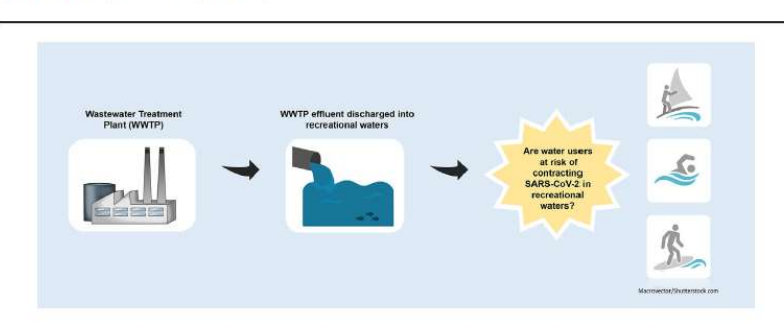
Niamh Cahill, Dearbháile Morris*

Antimicrobial Resistance and Microbial Ecology Group, School of Medicine, National University of Ireland, Galway, Ireland Centre for One Health, Ryan Institute, National University of Ireland, Galway, Ireland

HIGHLIGHTS

- SARS-CoV-2 has been detected in faeces and wastewater in recent months.
- Wastewater is a potential dissemination route for SARS-CoV-2 to recreational waters.
- Limited data on the presence and viability of SARS-CoV-2 in water bodies exists.
- The risk of SARS-CoV-2 exposure to recreational water users is believed to be low
- Further research investigating SARS-CoV-2 in recreational waters is required.

GRAPHICAL ABSTRACT



Travailleurs de l'assainissement

Rejets des eaux usées traitées ou épandage des boues résiduaires

Utilisation de bioconcentrateurs







SARS-CoV-2 : jusqu'à 10^6 - 10^7 cg/L



Dreissènes : sortie de STEP

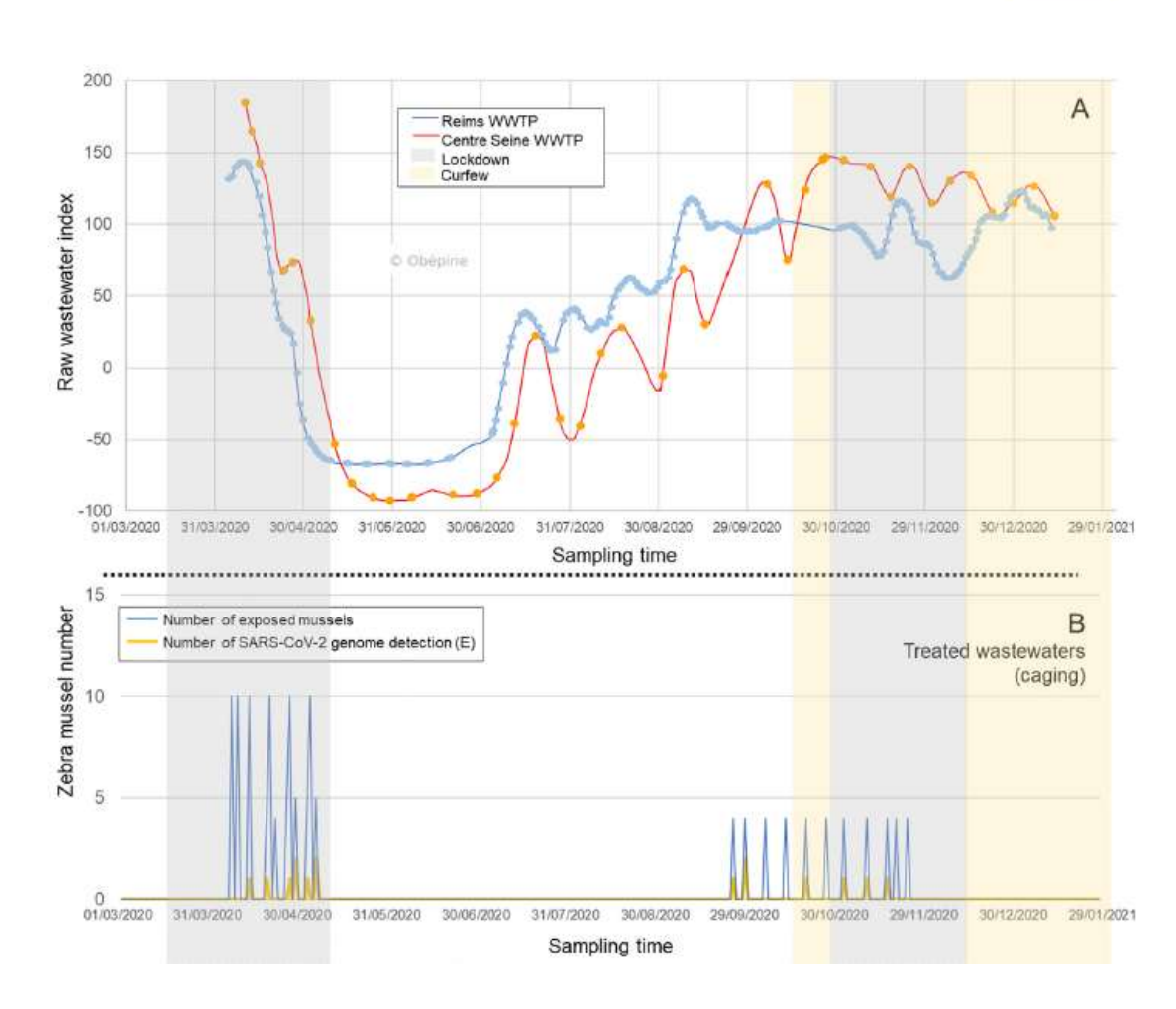


Présence de génome

Huîtres (eaux de mer)



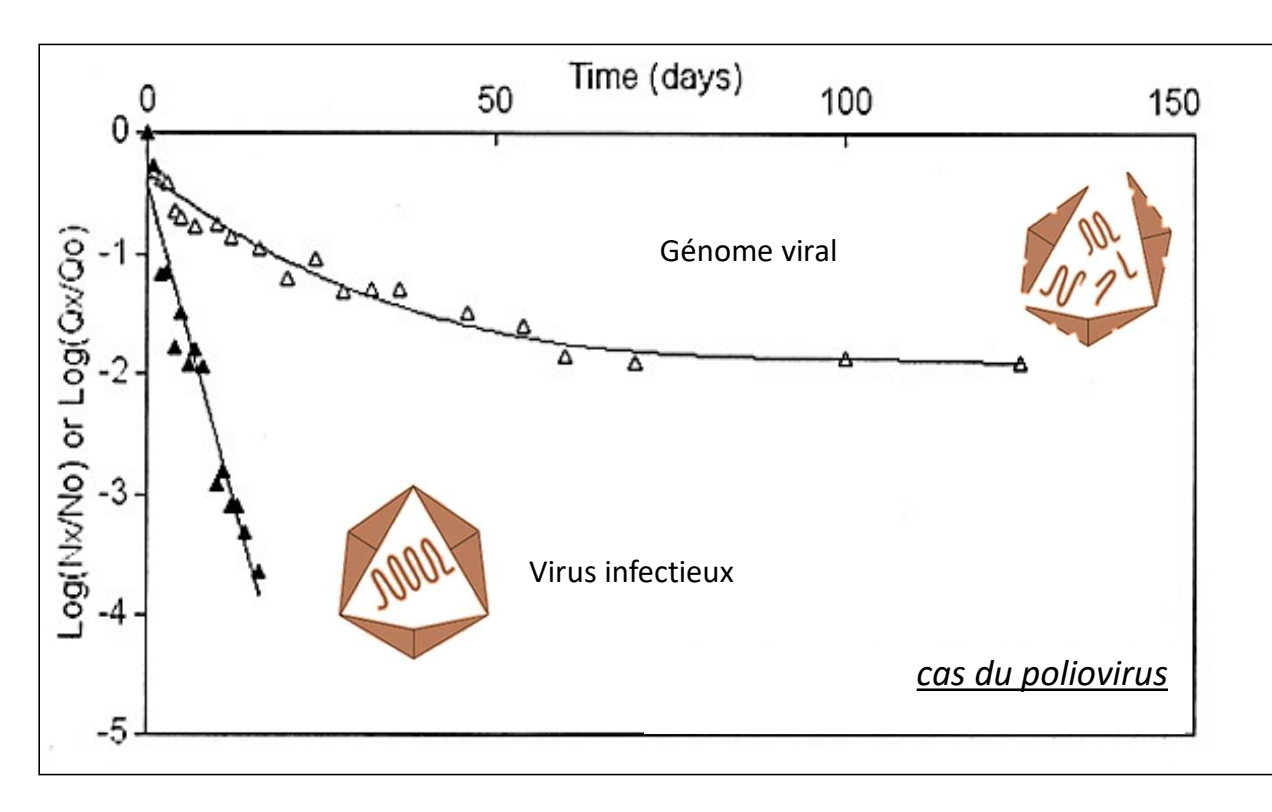
Absence de génome



Le Guenic et al., 2022; Desdouits et al., 2021

Interprétation de la présence de génome





Poliovirus Eau minérale 35°C

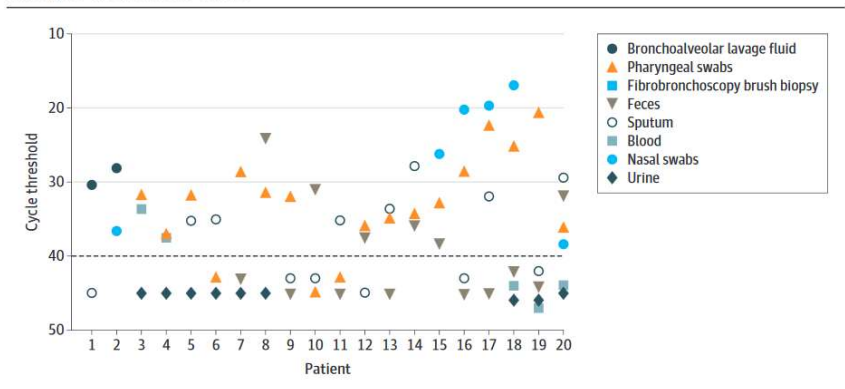
Similaire pour traitements UV, chlore, chaleur, dépuration fruits de mer...

Génome viral (RTqPCR) = absence d'information sur le caractère infectieux Impossible d'estimer le risque viral ou l'efficacité d'un traitement

Gassilloud et al., 2003; Simonet and Gantzer, 2006; Bertrand et al., 2012; Hartard et al., 2018

Caractère infectieux du SARS-CoV-2 dans l'environnement

 $Figure. Severe\ Acute\ Respiratory\ Syndrome\ Coronavirus\ 2\ Distribution\ and\ Shedding\ Patterns\ Among\ 20\ Hospitalized\ Patients$



Twenty patients had 2 to 6 specimens collected simultaneously (Figure). Viral RNA was detected in single specimens from 6 patients (respiratory specimens, feces, or blood), while 7 patients excreted virus in respiratory tract specimens and in feces (n = 5) or blood (n = 2). Live SARS-CoV-2 was observed in the stool sample from 2 patients who did not have diarrhea.

Wang et al 2020

1 publication de détection dans les urines (Sun et al. 2020)

SARS-CoV-1 : 7 publi dans les selles et 3 publi dans les eaux usées qui décrive la détection, pas de description de méthode, pas de contrôle +...

which can be released to the gastrointestinal tract. The continuous positive detection of viral RNA from feces suggests that the infectious virions are secreted from the virus-infected gastrointestinal cells. Recently, we and others have isolated infectious SARS-CoV-2 from stool (unpublished data, 2020), confirming the release of the infectious virions to the gastrointestinal tract. Therefore, fecal-oral transmission could be an additional route for viral spread. Prevention of fecal-oral transmission should be taken into consideration to control the spread of the virus.

Xiao et al 2020

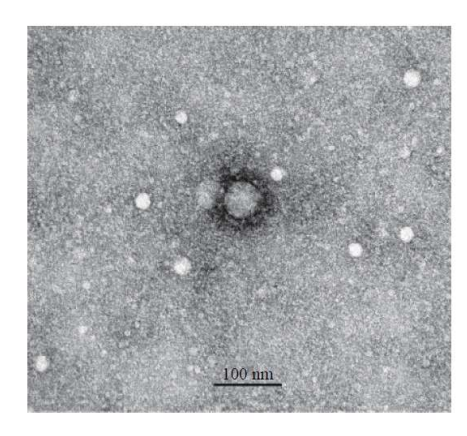


FIGURE 2. A virus particle with typical morphology of coronavirus was observed using electron microscopy after inoculating stool suspension into Vero cells.

Zhang et al 2020

et aucune donnée quantitative...

2 publications européennes en Italie (Rimoldi et al., 2020) et Allemagne (Wolfel et al., 2020) : négatif pour l'infectieux dans selles et eaux usées.



P201856 - Document DMSI/1 - Page 1/50

Abattement des bactériophages dans les boues de stations de traitement des eaux usées

S. Lardy-Fontan, N. Guigues

En collaboration avec
C. Gantzer (Université de Lorraine/CNRS),
la FNCCR et la FP2E

RAPPORT D'ETUDE

Demandeur :	Laure Souillac, Adjointe à la sous directrice Sous direction de la protection et de la gestion de l'eau, des ressources minérales et des écosystèmes aquatiques
	Direction de l'eau et de la biodiversité Ministère de la transition écologique et solidaire 1 place Carpeaux 92055 La Défense Cedex
Date de la commande :	Commande n° 1405033489 du 7/05/2020
Objet :	20EARM06 – Epandage des boues non hygiénisées

La reproduction du présent document n'est autorisée que sous sa forme intégrale. Il comporte 50 pages.

Laboratoire national de métrologie et d'essais • Etablissement public à caractère industriel et commercial Siège social : 1, rue Gaston Boissier - 75724 Paris Cedex 15 • Tét. : 01 40 43 37 00 - Fax : 01 40 43 37 37 info@lne.fr • Ine.fr • RCS Paris 313 320 244 - NAF : 7120B - TVA : FR 92 313 320 245

Boues résiduaires : Leçons de la Covid-19

- Fortes concentrations en génome de SARS-CoV-2 dans les eaux usées
- Risque de transmission durant ou après l'épandage
- Interdiction de l'épandage des boues non hygiénisées (arrêté du 20 avril 2020)
- Objectif : Démontrer que les traitements sont capables d'inactiver le virus
- Le caractère infectieux doit être pris en compte (problématique LNSB3, protocoles adaptés aux boues...)

Utilisation des bactériophages fécaux comme indicateur de terrain



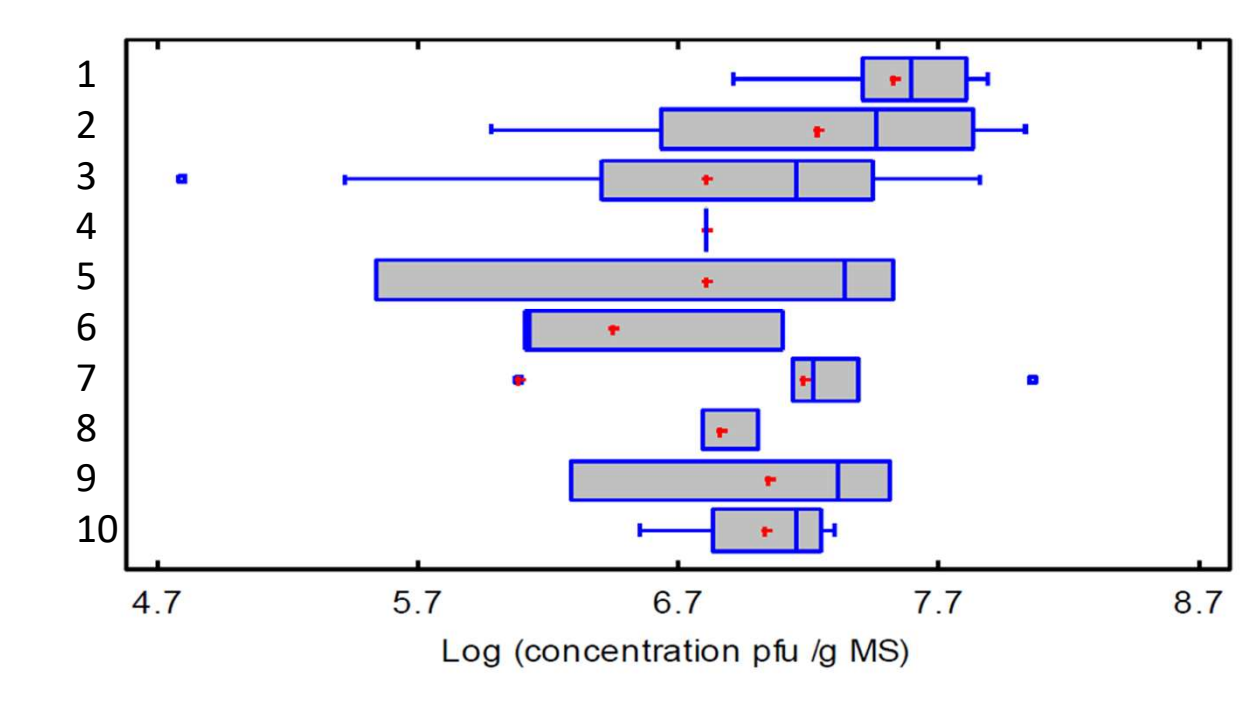


- Sélection des traitements (taille, localisation, types de traitements) : n=41
- Rendement des protocoles d'extraction : > 50 %

Boues liquides avant stockage - Coliphages som atiques

- Phages fécaux : coliphages somatiques (6,5 à 7,5 UFP/g MS)

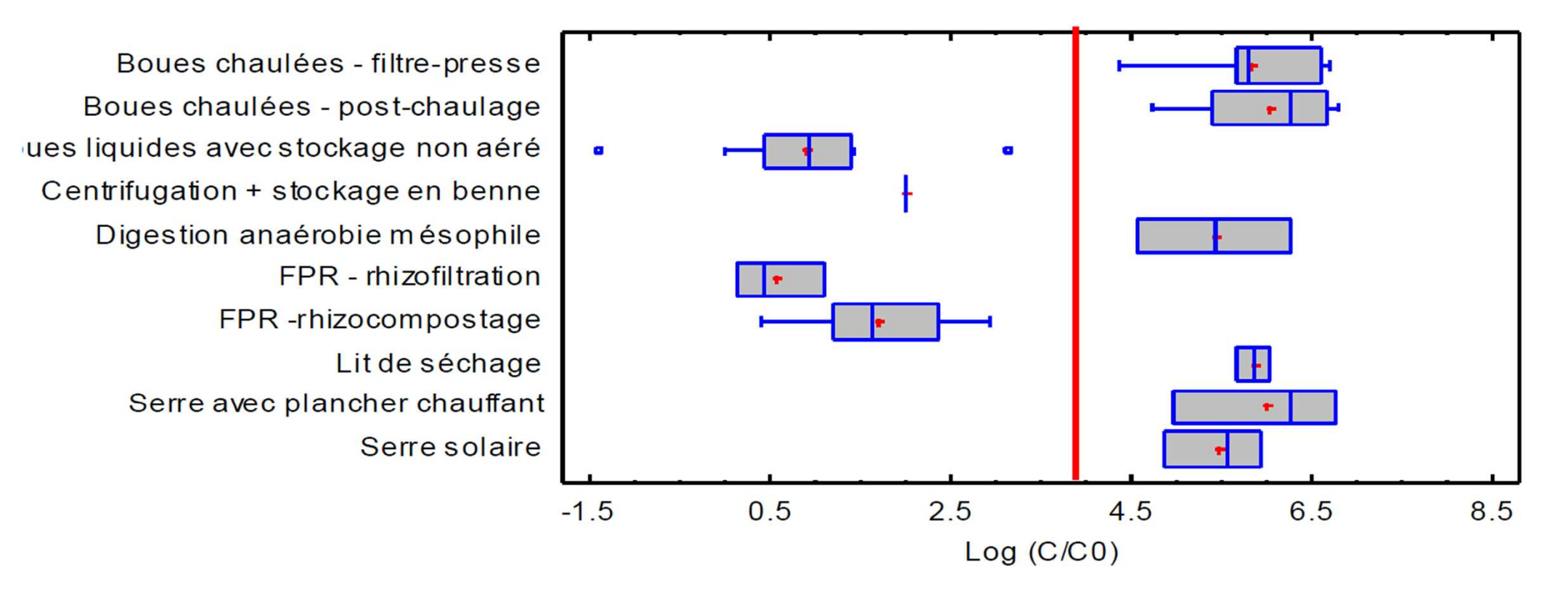
Concentrations en coliphages somatiques relativement stables avant le traitement



Lardy Fontan et al., 2021; Varbanov et al., 2021

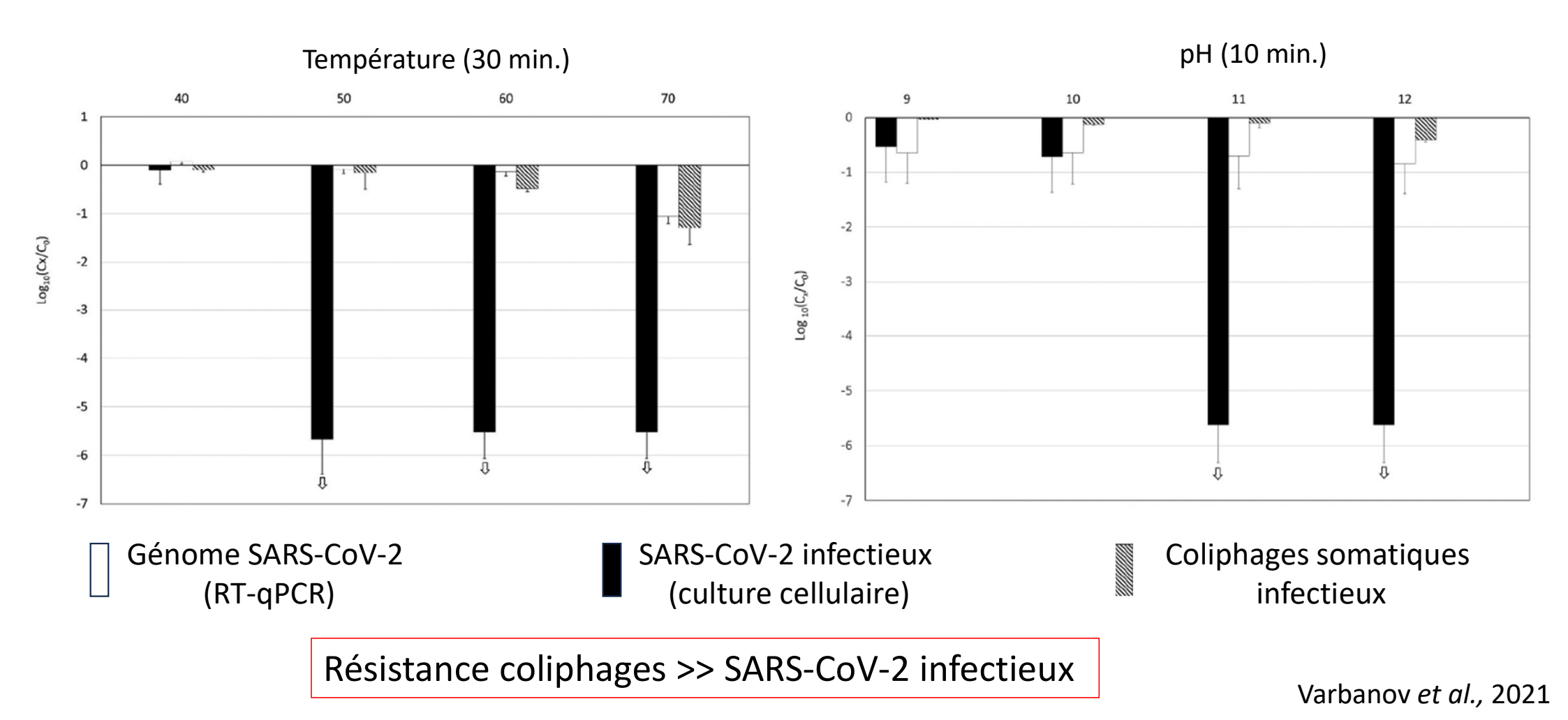
Abattement viral du traitement des boues : coliphages somatiques

Abattement en coliphages somatiques



Chaulage, digestion anaérobie mésophile, lit de séchage, serre solaire/plancher chauffant : $>4,5\,\log_{10}$

Résistance comparée des coliphages somatiques et du SARS-CoV-2 infectieux : pH et température



Fin de l'interdiction de l'épandage des boues



- L'utilisation des coliphages somatiques est acceptable comme indicateur d'efficacité de traitement.
- Les boues obtenues par des traitements garantissant un abattement > 4 log₁₀ en coliphages somatiques peuvent être épandues.



Avis de l'Anses Saisine n°2020-SA-0137 Saisines liées n°2020-SA-0037, 2020-SA-0043, 2020-SA-0056, 2020-SA-0058, 2020-SA-0068 et 2020-SA-0069

Le directeur général

Maisons-Alfort, le 19 février 2021

AVIS

de l'Agence nationale de sécurité sanitaire de l'alimentation, de l'environnement et du travail

relatif au projet d'arrêté modifiant l'arrêté du 30 avril 2020 précisant les modalités d'épandage de boues issues du traitement des eaux usées urbaines pendant la crise de COVID-19

Conclusions



- Les outils de WBE sont disponibles pour le SARS-CoV-2
- La surveillance épidémiologique est possible en France (40% of the population) : SUM'EAU (ANSES et SPF)
- La recherche de virus dans les eaux usées est souvent utile (> 70 pays) pour répondre à des questions précises : Le confinement est-il efficace ?

Un variant/un virus émerge-t-il?

Quand l'épidémie va t-elle démarrer ?

Les vaccins sont-ils efficaces? ...

MAIS cela soulève de nombreuses autres questions :

Existe-t-il un risque infectieux?

Les traitements des eaux/boues sont-ils efficaces ?

Points éthiques ...

Quels virus?: SARS-CoV-2.... vaccine derived poliovirus... Mpox... human influenzae virus...hepatitis E virus.... Vİrus X



Plateforme Une Seule Santé



2024-2029 (10 M€)

Stratégie d'accélération des maladies infectieuses émergentes (MIE) et menaces nucléaire, radiologique, biologique et chimique (NRBC) (MN)

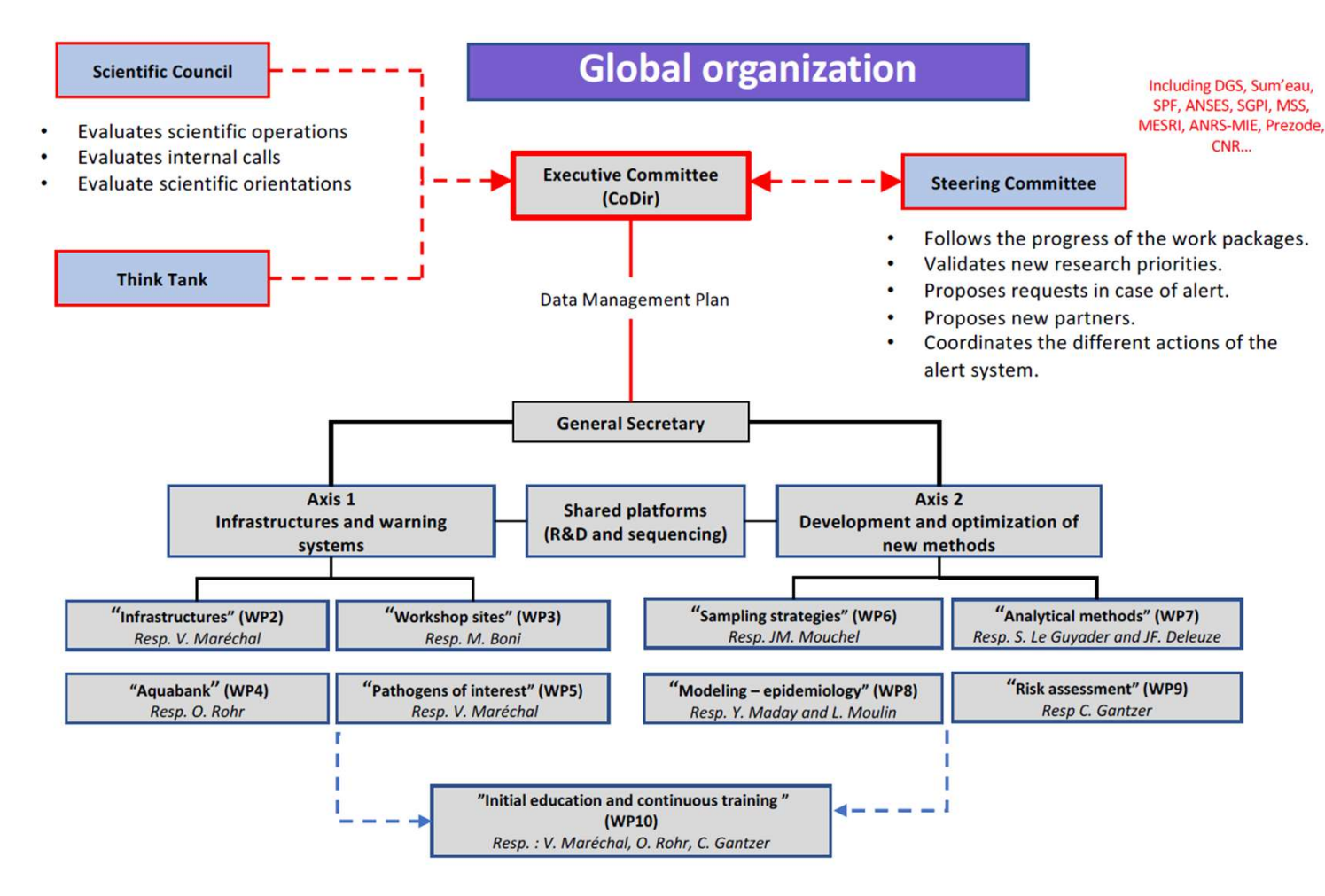
- > Permettre des projets R&D en WBE
 - Méthodes innovantes, stratégies et modèles utilisant des approches génomiques
 - Plateformes partagées
 - Aquabank
 - P3 laboratoires (4) ouverts pour des projets WBE
 - Laboratoires dédiés à de la R&D moléculaire (SU Roscoff IAGE)
 - Séquençage commun et plateforme de bio-mathématiques (SU, CNRGH, IPMC)
- Héberger des projets de recherche financés par d'autres sources
- > Fournir un écosystème pour promouvoir les collaborations entre secteurs privés / publics
- Collaborer avec d'autres réseaux (i.e. Sum'Eau, Prezode), partager des données et améliorer les protocoles
- > Déployer la WBE dans d'autres pays

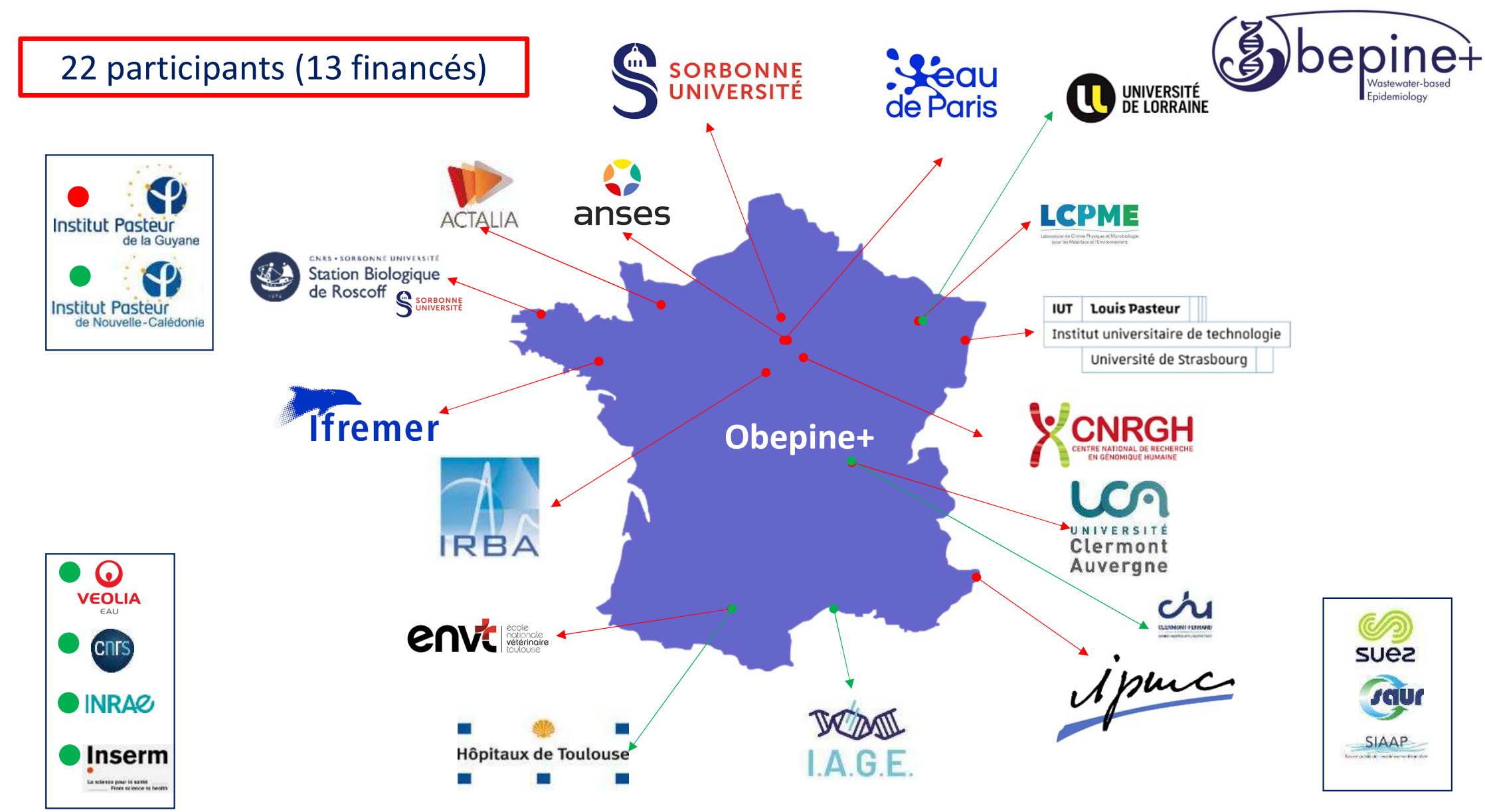


2024-2029 (10 M€)

Plateforme Une Seule Santé





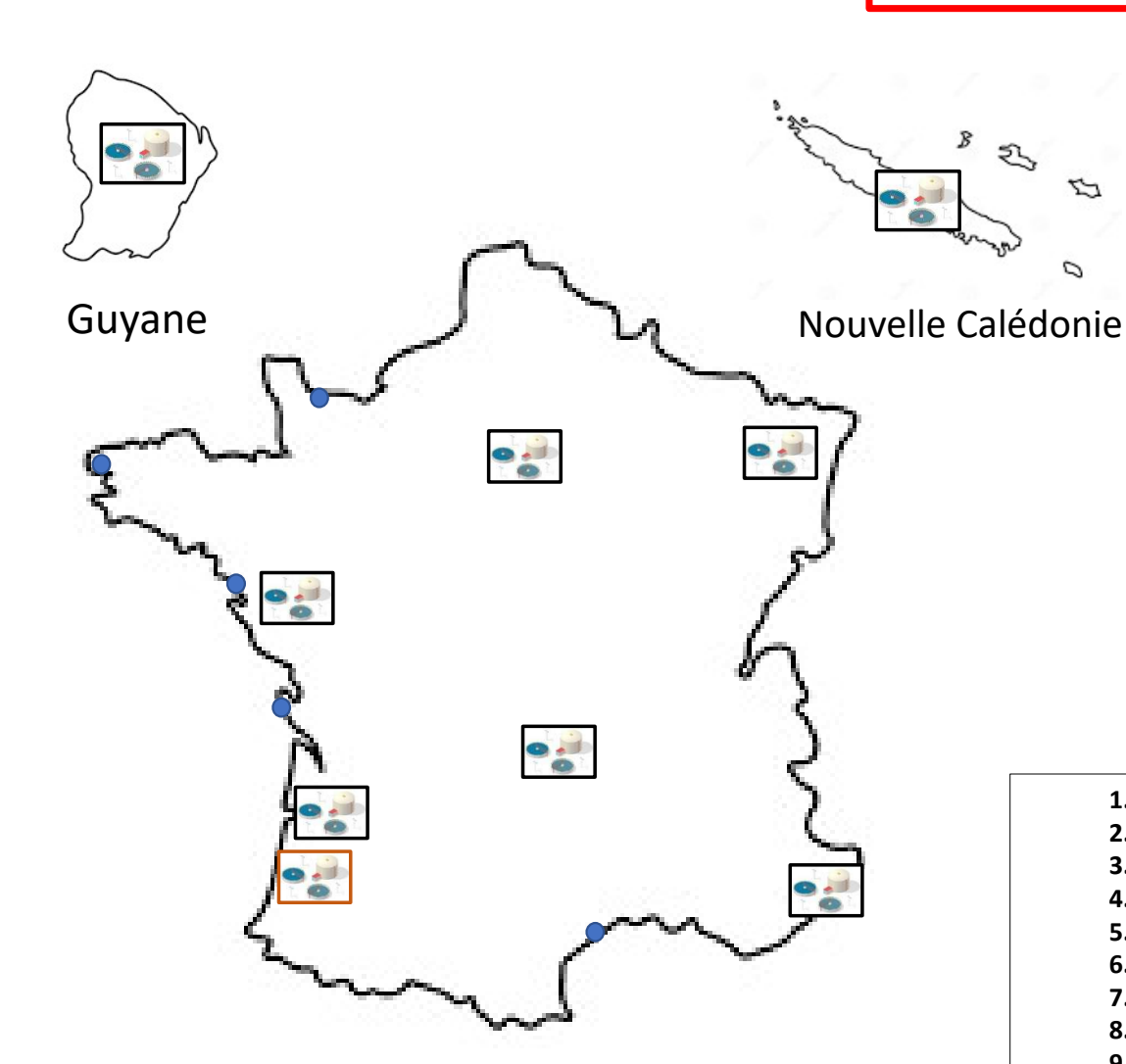


Demande de fonds

Participe sans demande de fonds

9 sites ateliers







Aquathèque

1.Paris: 5 stations (~4.0 M habitants) + 8 égouts + 1 université

2.Grand-Est: 11 stations (~1.4 M habitants) + 3 universités + 1 hôpital + 1 abattoir

3.Nice: 1 station (~340,000 habitants)

4.Puy-de-Dôme: 8 stations (~460,000 habitants)

5.Bassin Arcachon: 5 stations (~345,000 habitants) + 1 hôpital

6.Littoral français: 6 stations (~790,000 habitants)

7.Sud-ouest: 1 station d'élevage (i.e. 30 fermes d'élevage de canards + 3 abattoirs)

8.Guyane: 3 stations (~90,000 habitants) + échantillons d'excréments

9.Nouvelle Calédonie: 3 stations (~81,000 habitants)



Membres fondateurs d'Obépine











S.Wurtzer (Virologie)





Y.Maday (Mathématiques)



V.Maréchal

(Virologie)

inserm !



J.M.Mouchel (Hydrologie)





S.Le Guyader (Virologie)





M.Boni (Infectiologie)









C.Ganzer (Virologie)

Autres membres du GIS OBEPINE : Actalia, Université de Strasbourg, IP-Guyane.

Participants OBEPINE +











